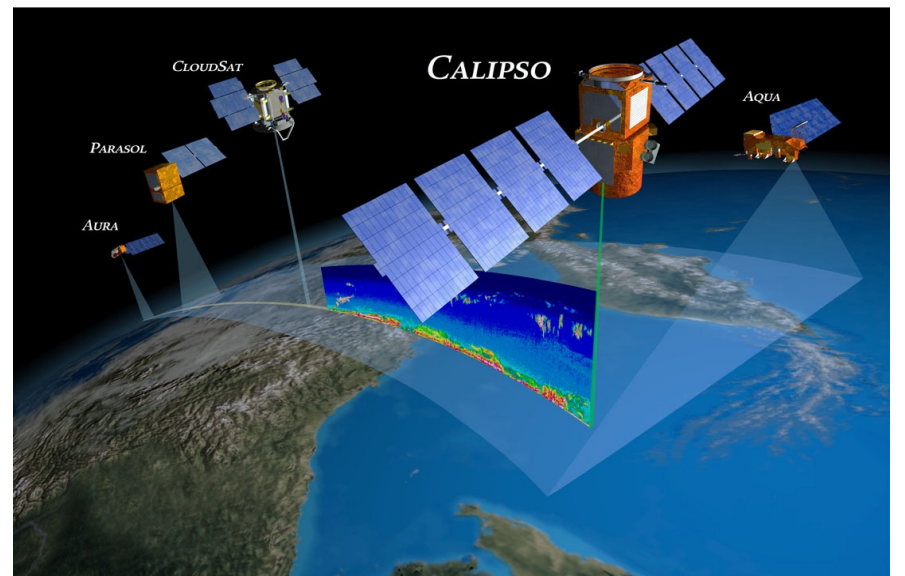


Évaluation de la fraction et de l'épaisseur optique des nuages simulés par LMDZ 5A et 5B.

D. Konsta, J-L Dufresne, H. Chepger, A. Idelkadi, G. Cesana



CALIPSO: Lidar, profil vertical de la fraction nuageuse

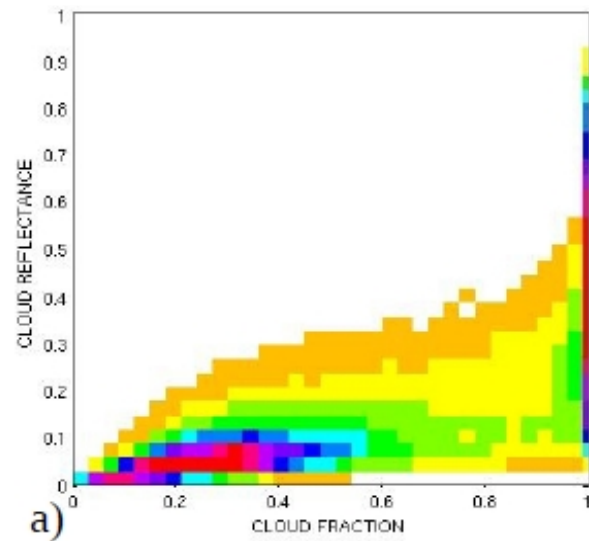
PARASOL: reflectances directionnelle du rayonnement solaire, pour un angle de visé particulier: => bonne approximation de l'épaisseur optique

CERES: flux SW au sommet de l'atmosphère

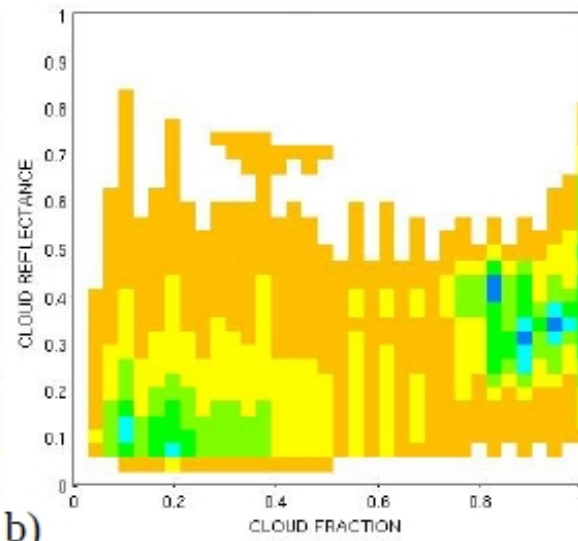
Cloud reflectance versus cloud fraction, over the tropical oceans

instantaneous

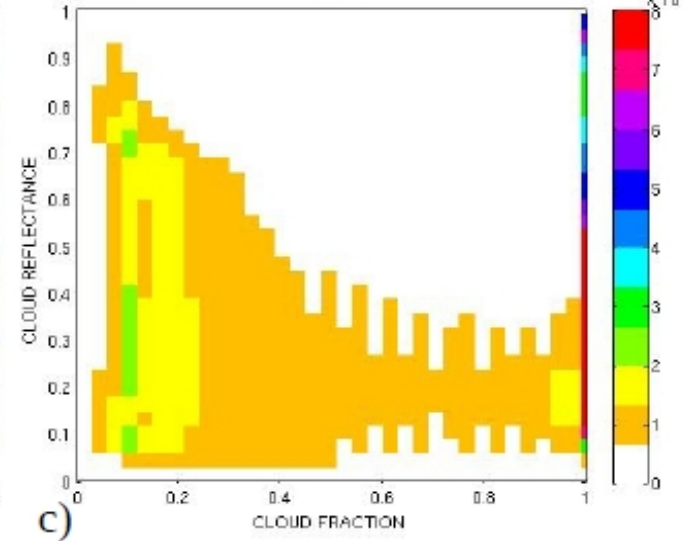
CALIPSO & PARASOL (obs)



LMDZ-5A

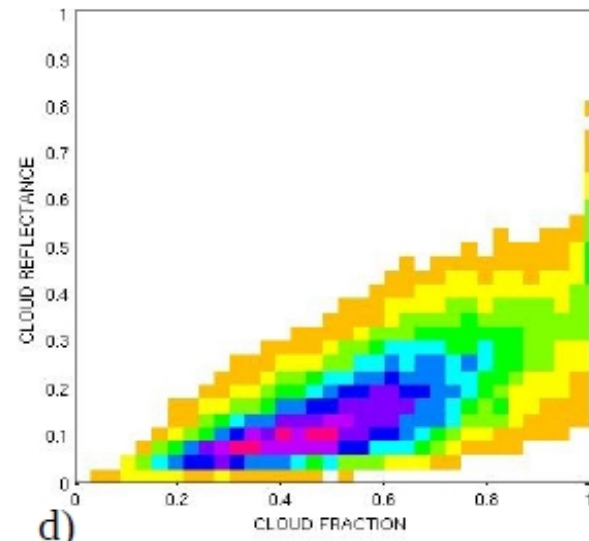


LMDZ-5B

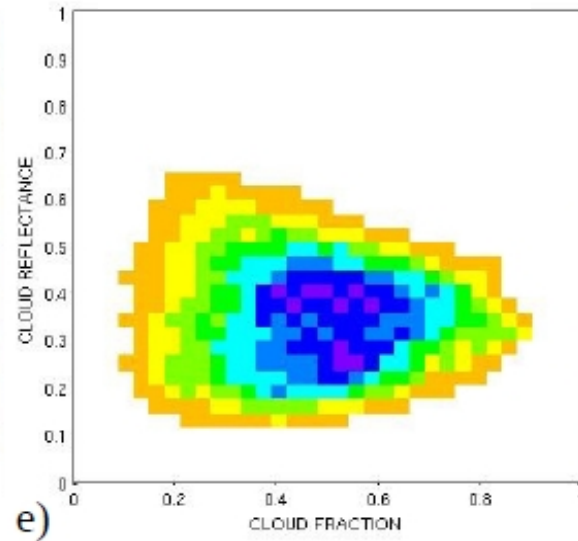


monthly mean

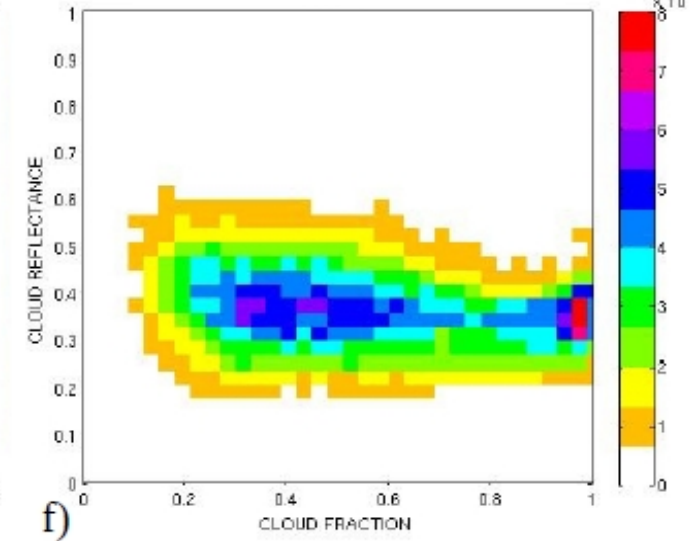
CALIPSO & PARASOL (obs)



LMDZ-5A



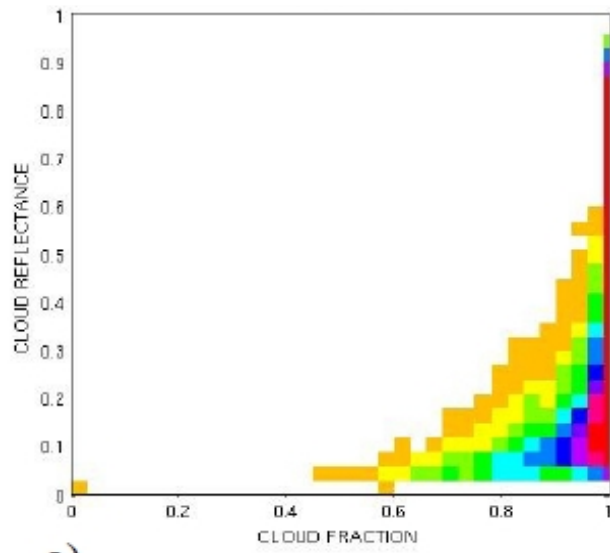
LMDZ-5B



Cloud reflectance versus cloud fraction, for ***low and high level clouds***, over the tropical oceans

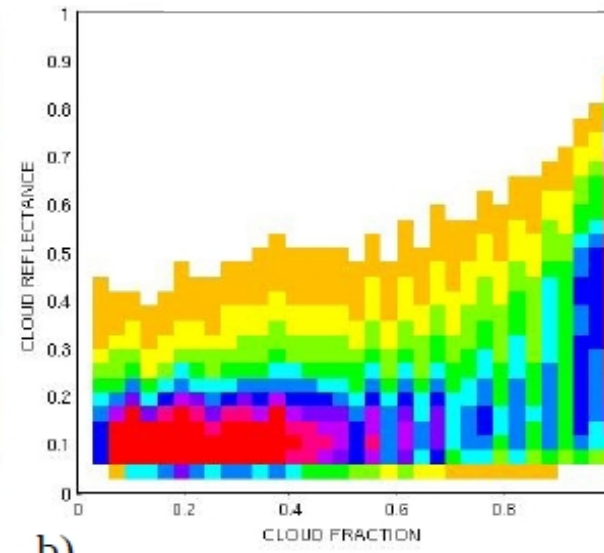
High level

CALIPSO & PARASOL (obs)



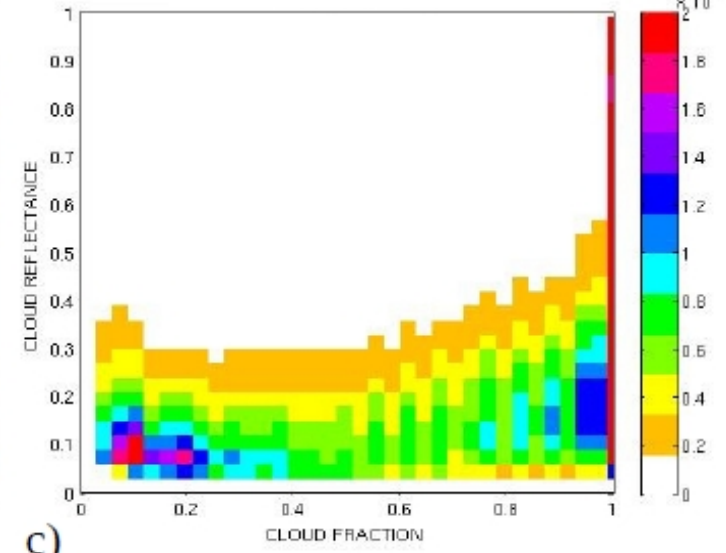
a)

LMDZ-5A



b)

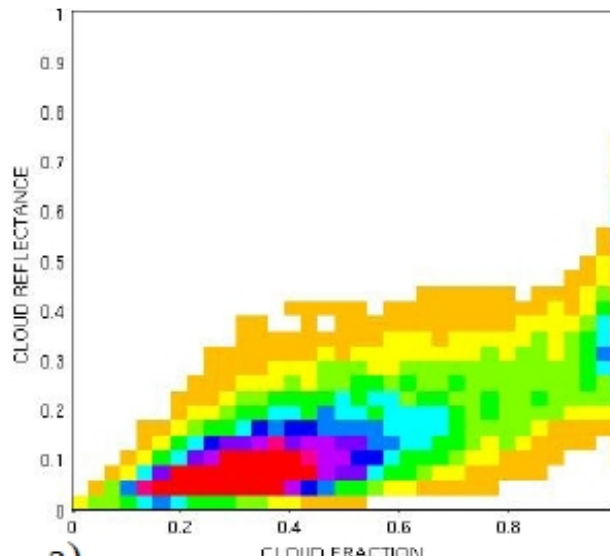
LMDZ-5B



c)

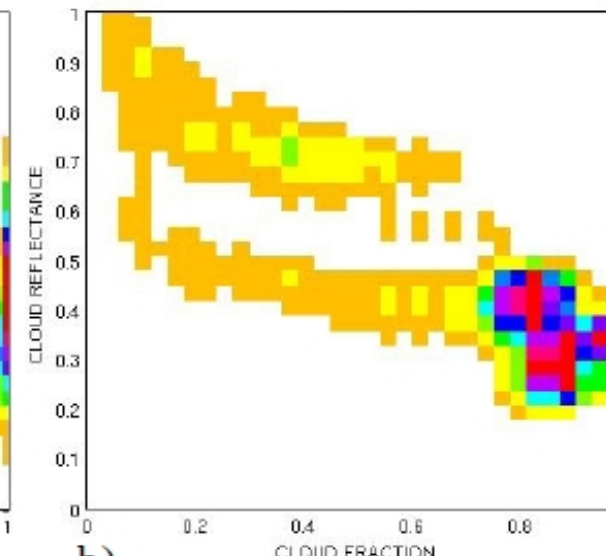
Low level

CALPSO & PARASOL (obs)



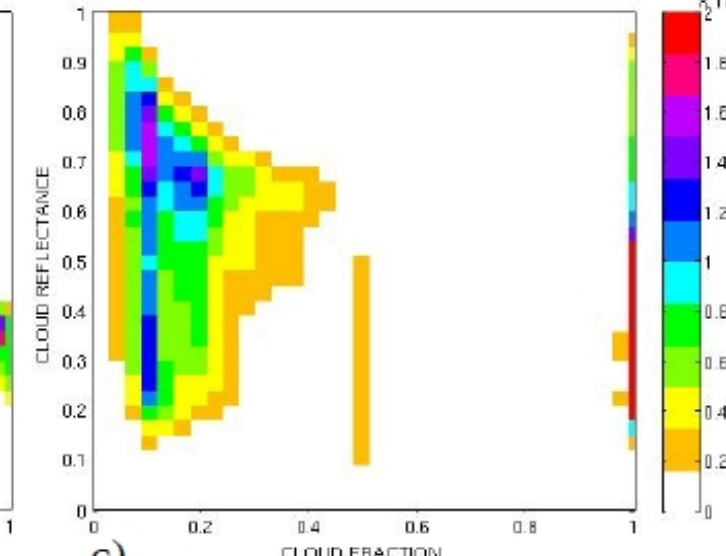
a)

LMDZ-5A



b)

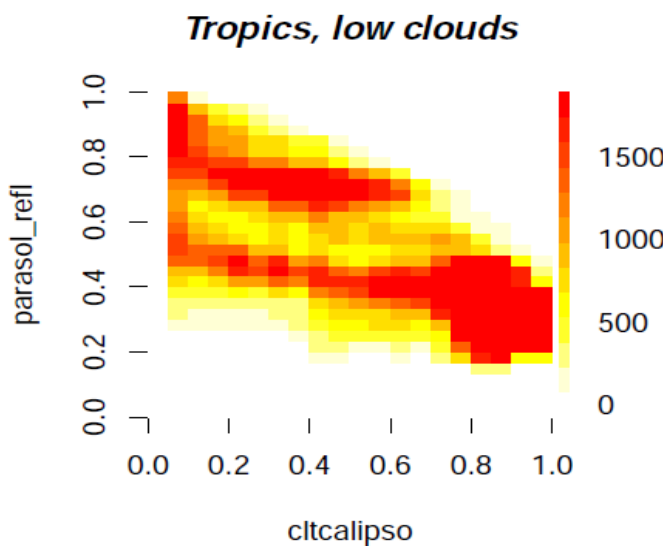
LMDZ-5B



c)

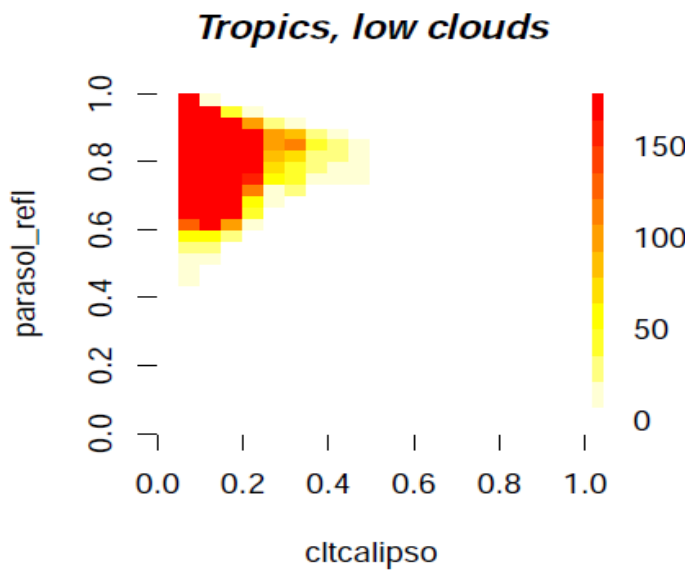
LMDZ5A

Original:
ratqs Bas=0.005, Haut=0.33

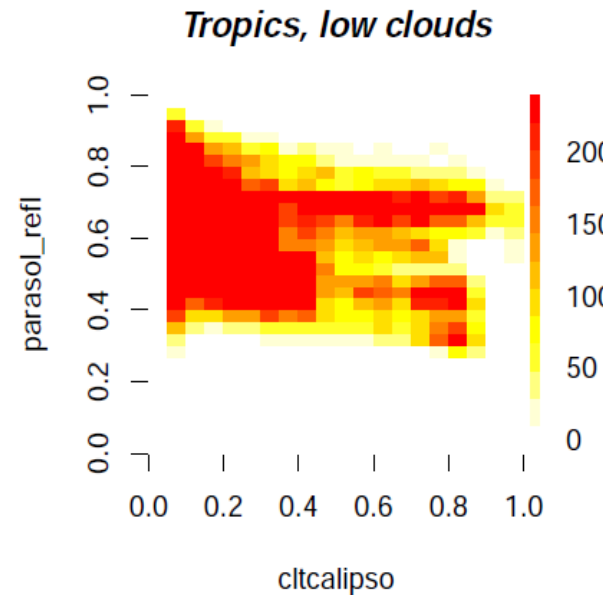


Augmentation linéaire avec la pression de `ratqs_bas` à `ratqs_haut`, du 1er niveau à 300 hPa

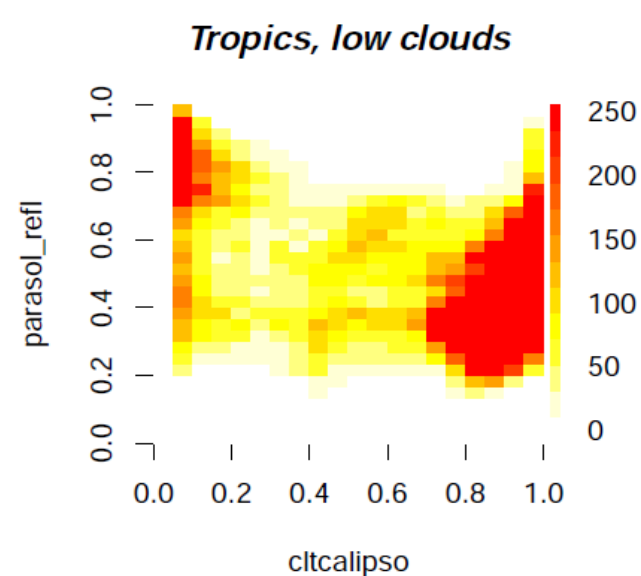
Ratqs Bas=Haut=0.15



Ratqs Bas=Haut=0.05

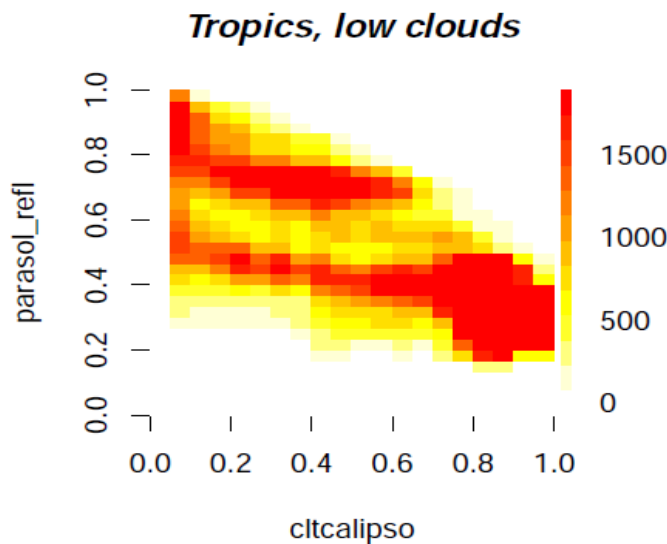


Ratqs Bas=Haut=0.02



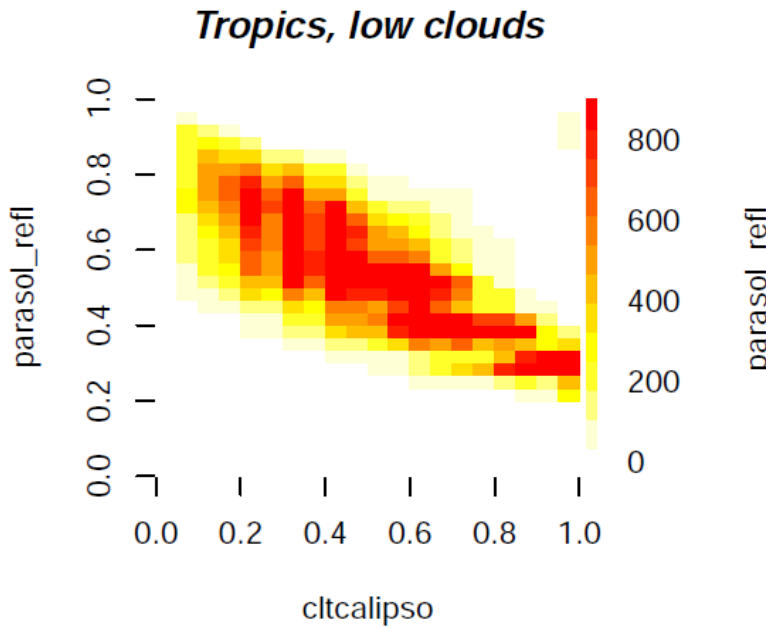
LMDZ5A

Original:
ratqs Bas=0.005, Haut=0.33

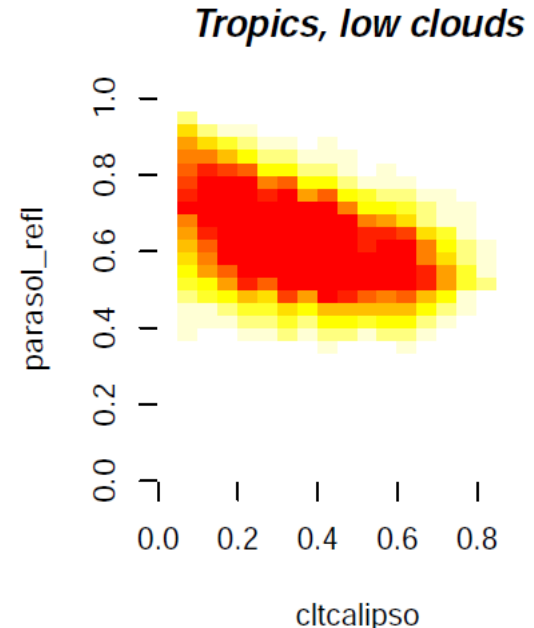


Augmentation linéaire avec la pression de ratqs_bas
à ratqs_haut, du 1er niveau à 300 hPa

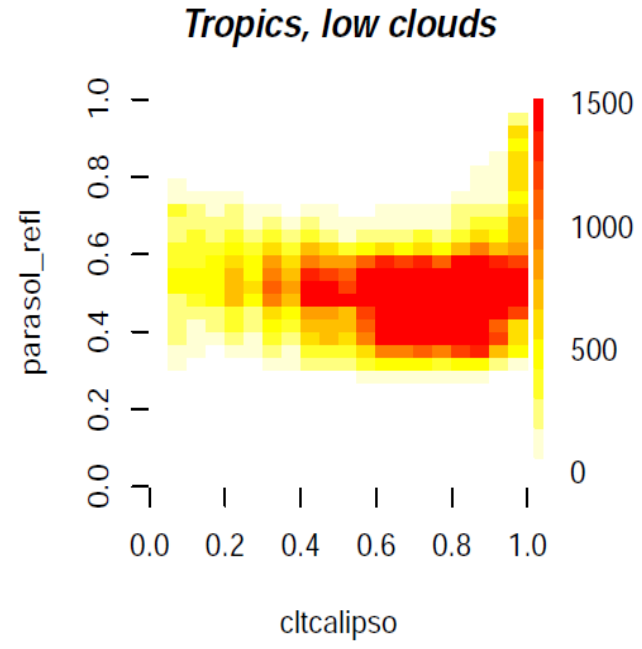
Convection Off



Convection Off
Ratqs Bas=Haut=0.05



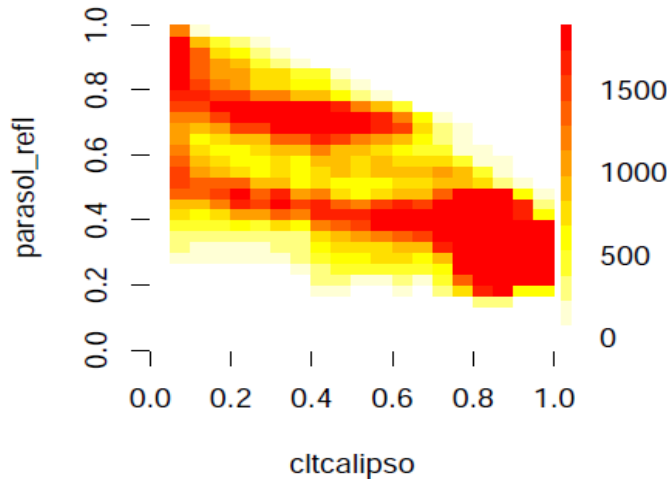
Convection Off
Ratqs Bas=Haut=0.03



LMDZ5A

Original:
ratqs Bas=0.005, Haut=0.33

Tropics, low clouds

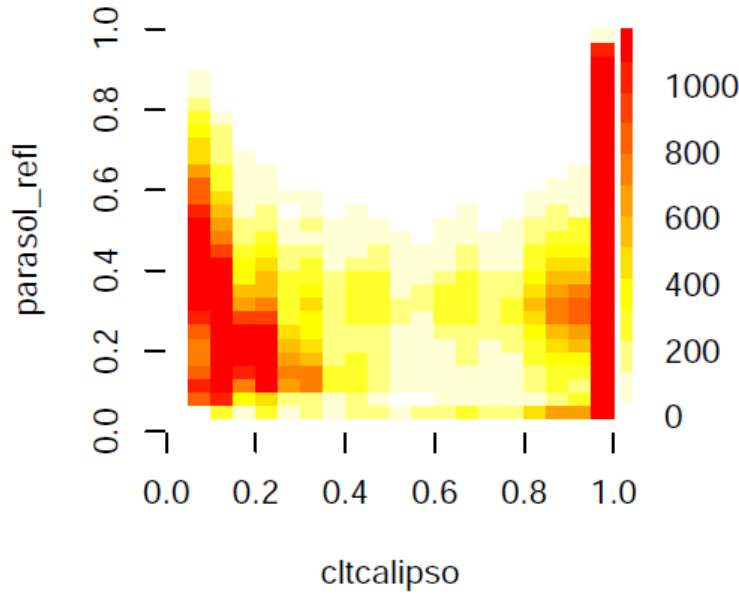


Augmentation linéaire avec la pression de `ratqs_bas` à `ratqs_haut`, du 1er niveau à 300 hPa

LMDZ6

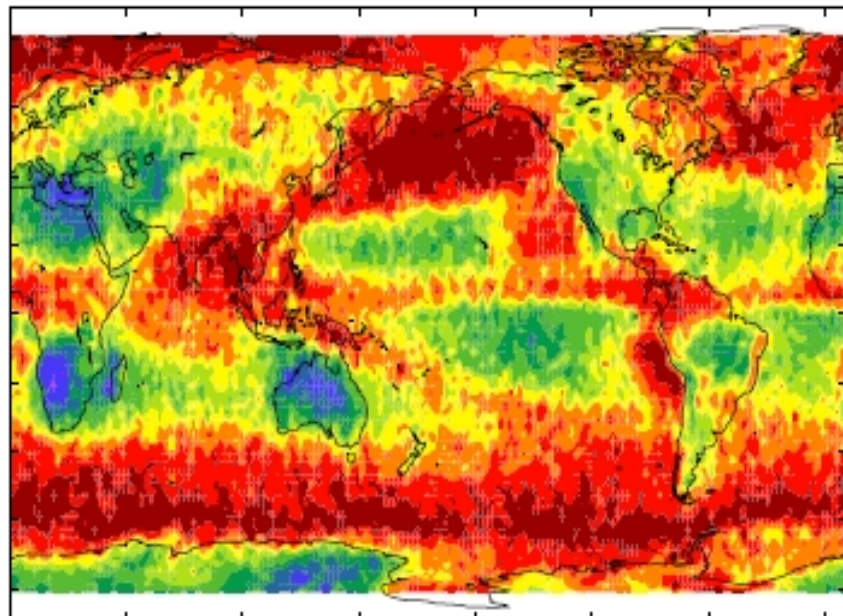
NPV4.12

Tropics, low clouds

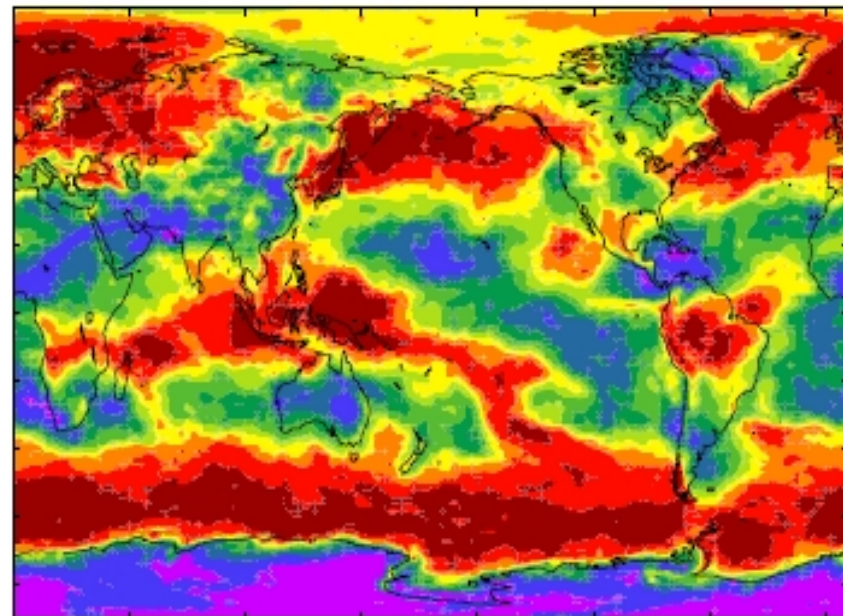


Total cloud fraction (Jan.)

Calipso-GOCCP, Total Cloud, Jan

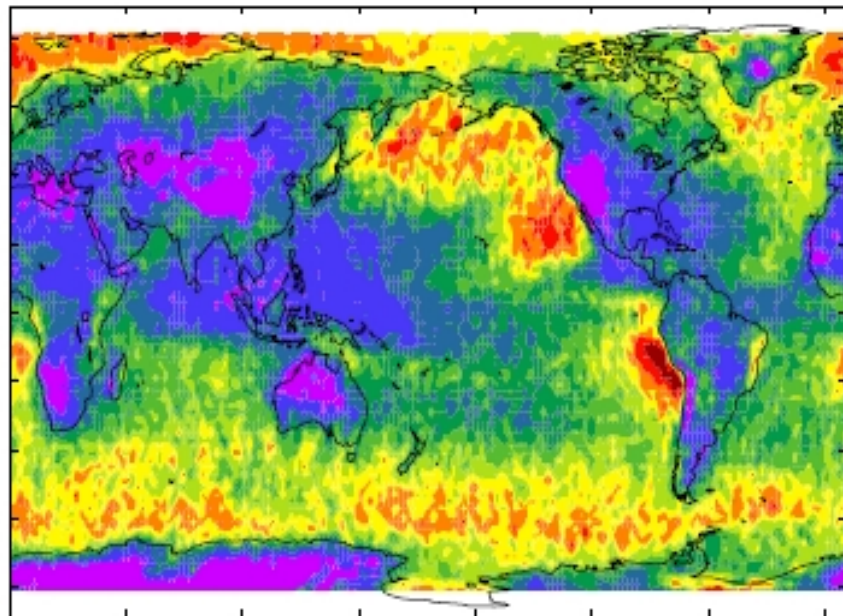


LMDZ NVv4.12, Total Cloud, Jan

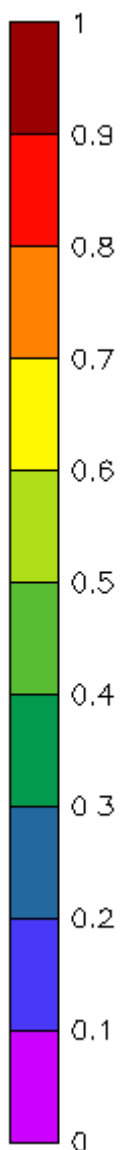
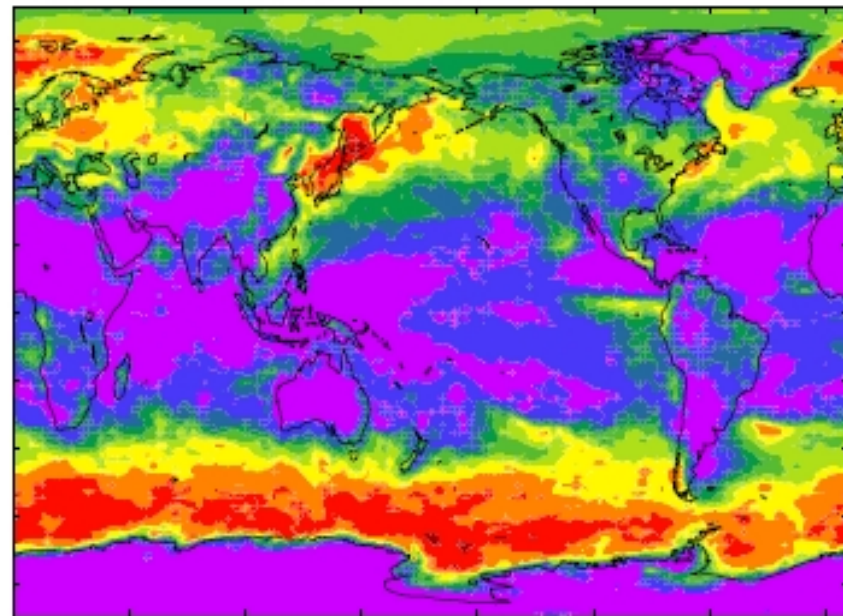


Low cloud fraction (Jan.)

Calipso-GOCCP, Low Cloud, Jan

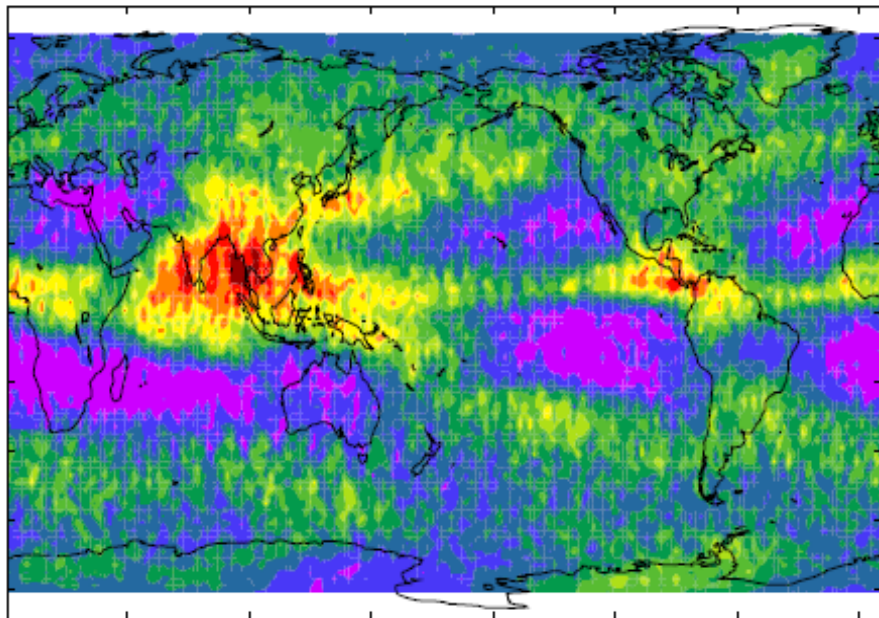


LMDZ NVv4.12, Low Cloud, Jan

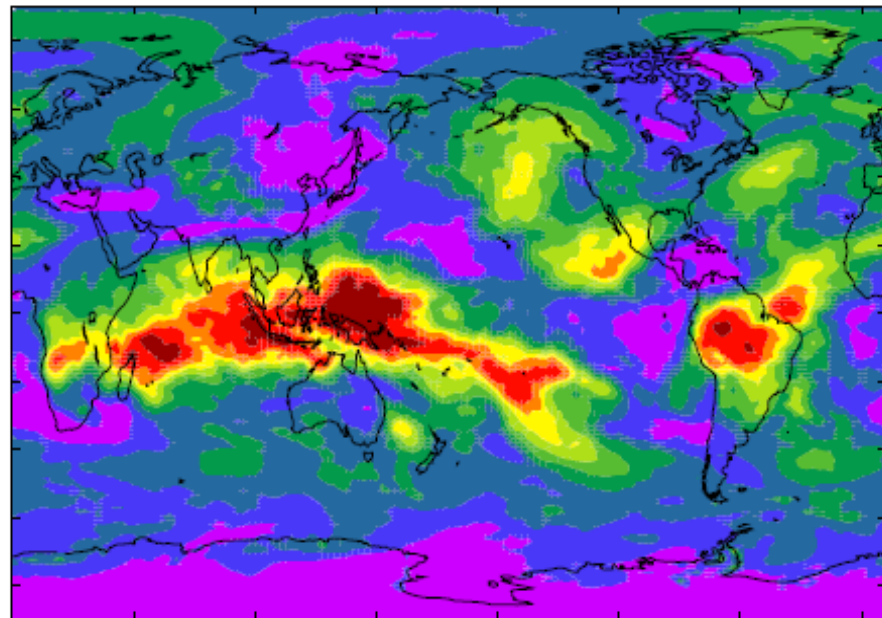


High cloud fraction (Jan.)

Calipso-GOCCP, High Cloud, Jan

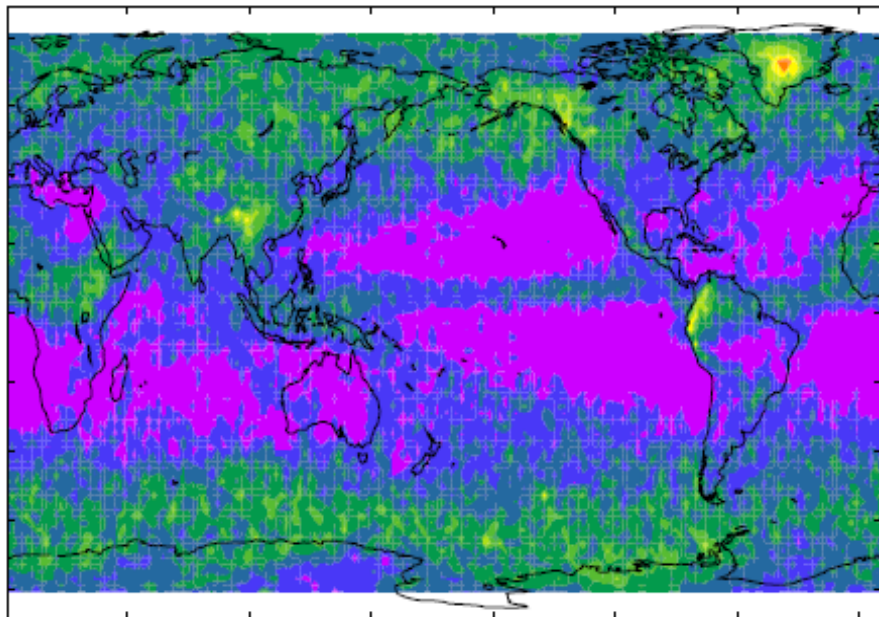


LMDZ NVv4.12, High Cloud, Jan

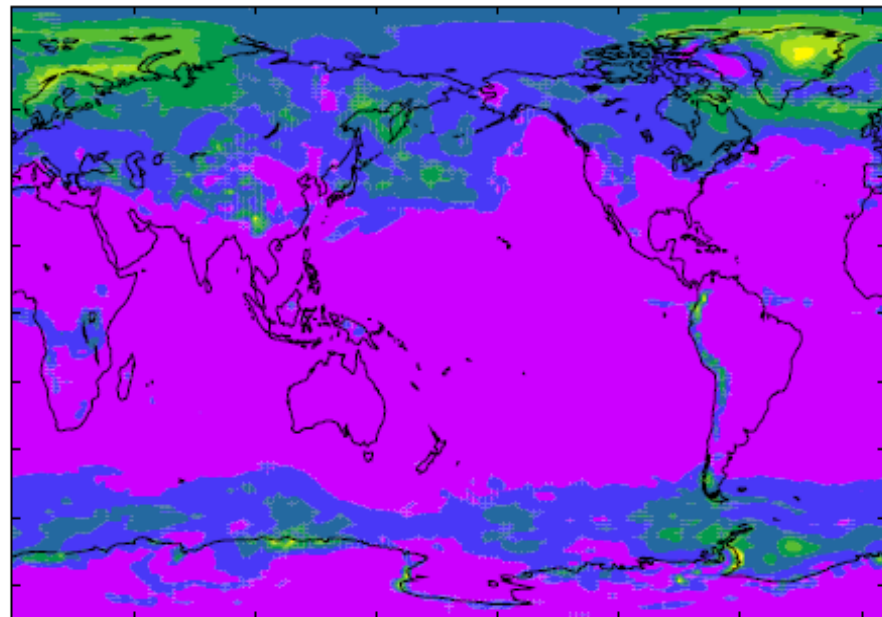


Mid cloud fraction (Jan.)

Calipso-GOCCP, Med Cloud, Jan

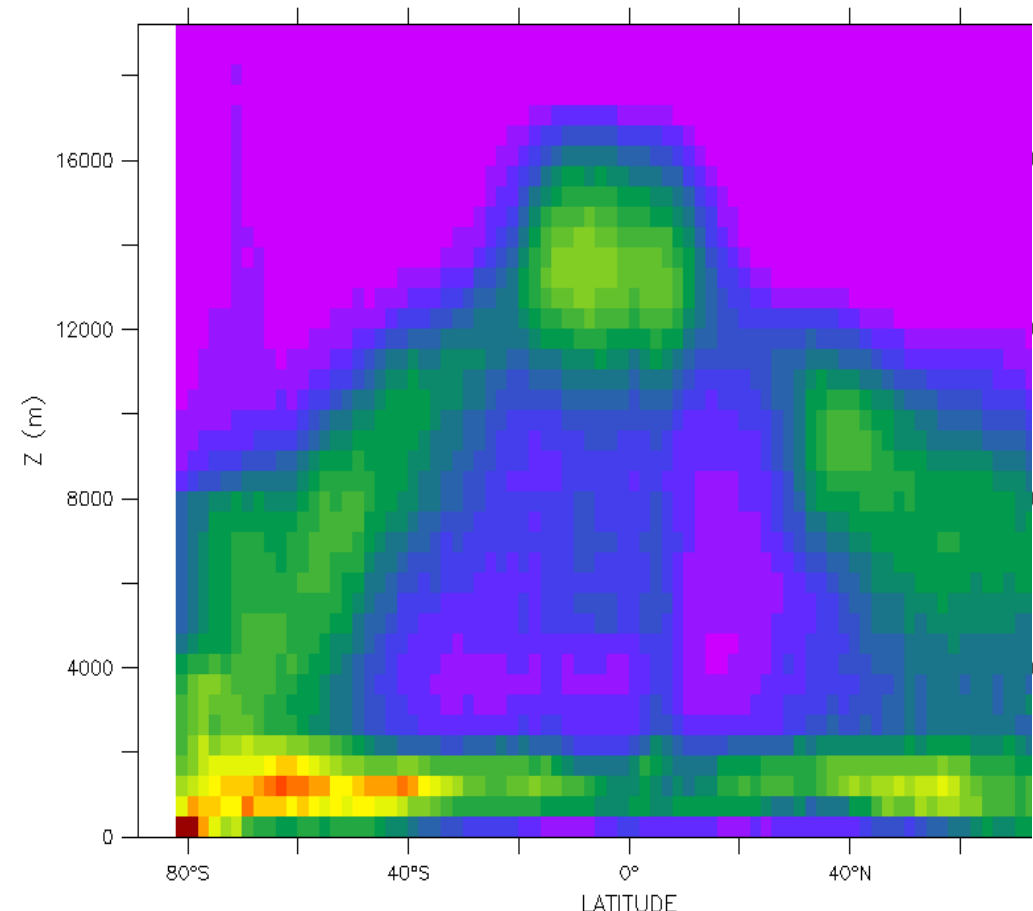


LMDZ NVv4.12, Med Cloud, Jan



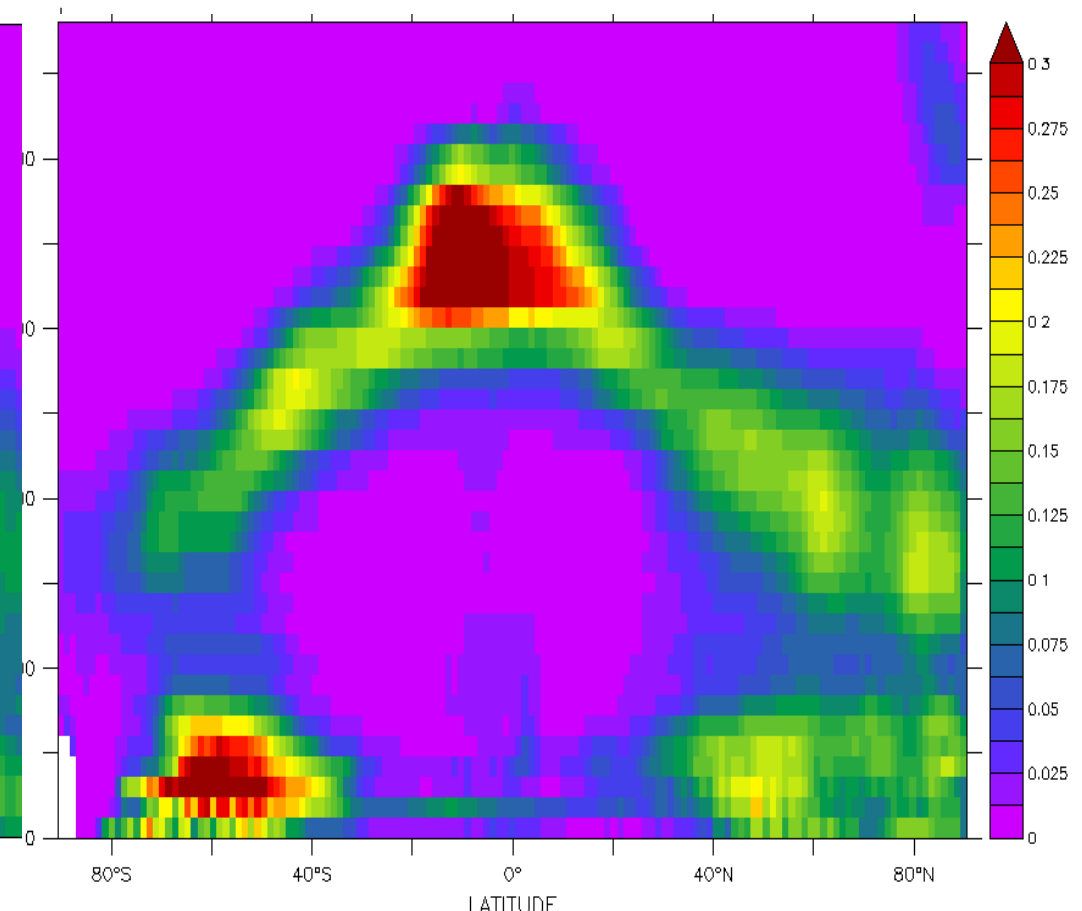
Cloud fraction (Jan.)

Calipso-GOCCP



CALIPSO Cloud Fraction (%)

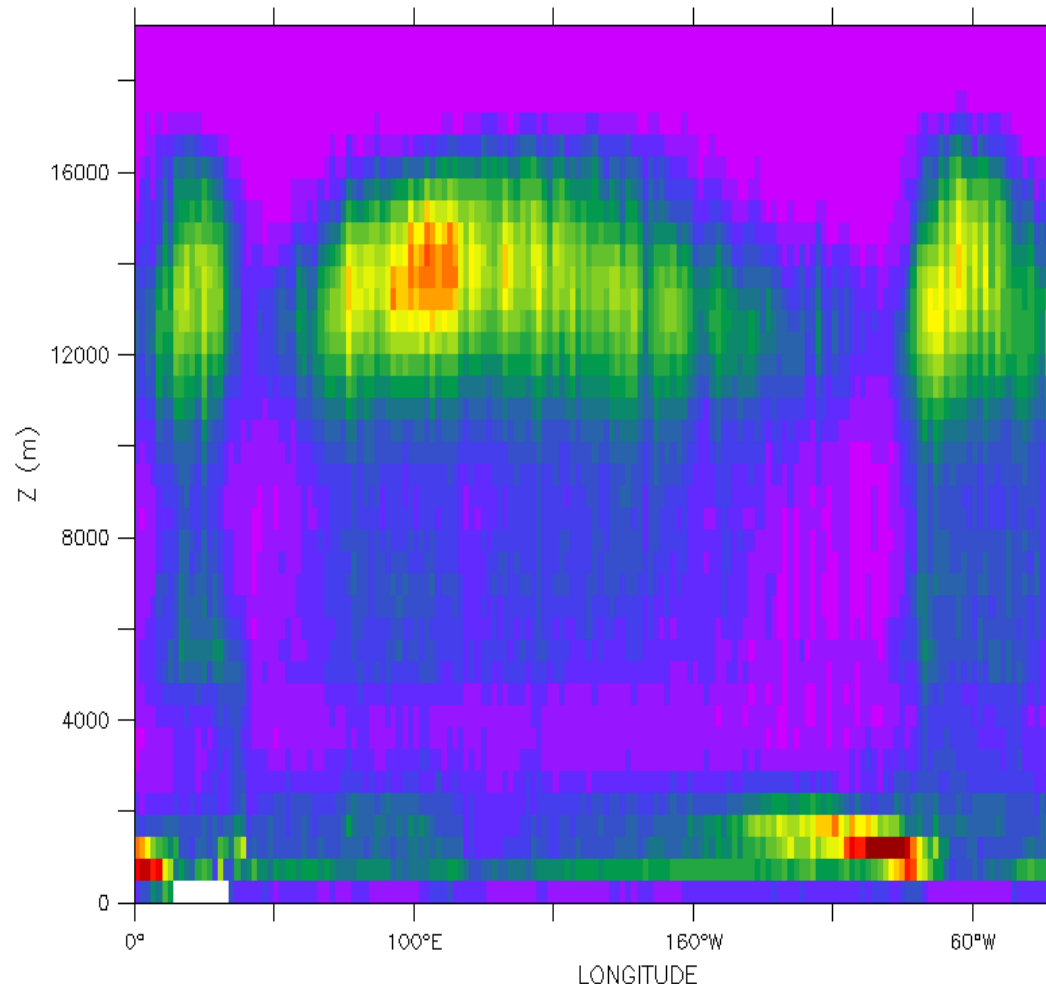
LMDZ NPv4.12



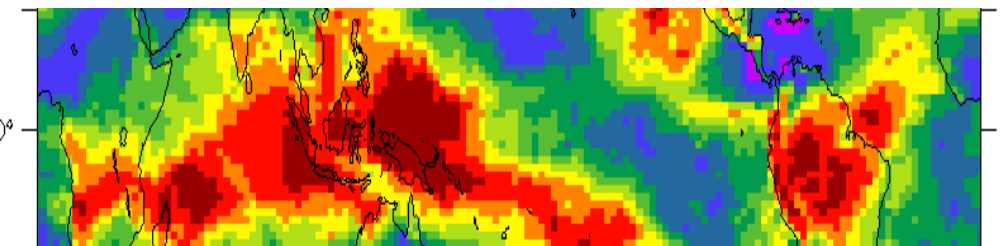
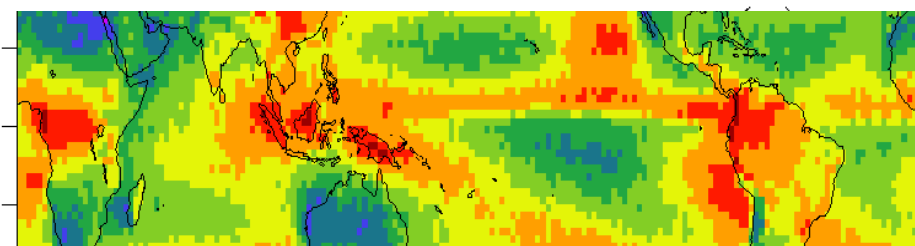
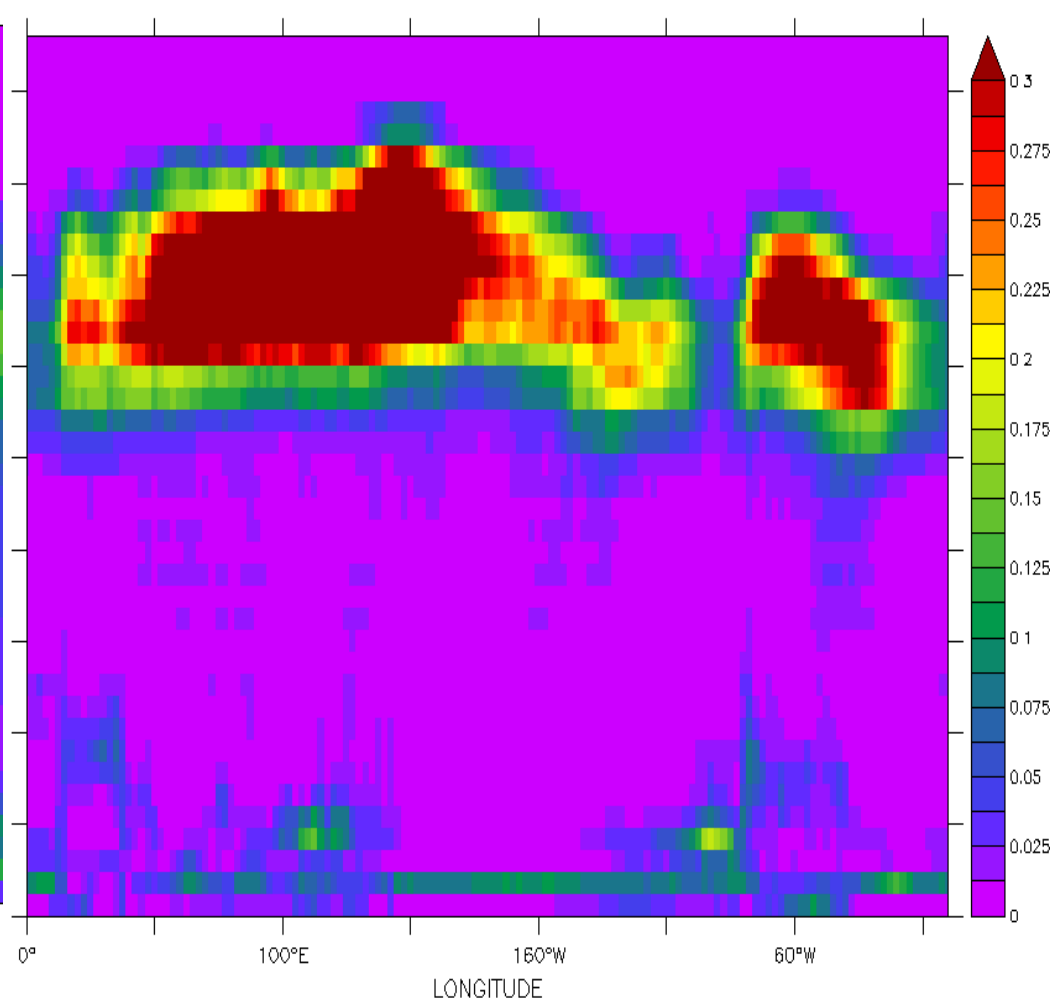
Lidar Cloud Fraction (532 nm) (1)

Cloud fraction (Jan.)

Calipso-GOCCP



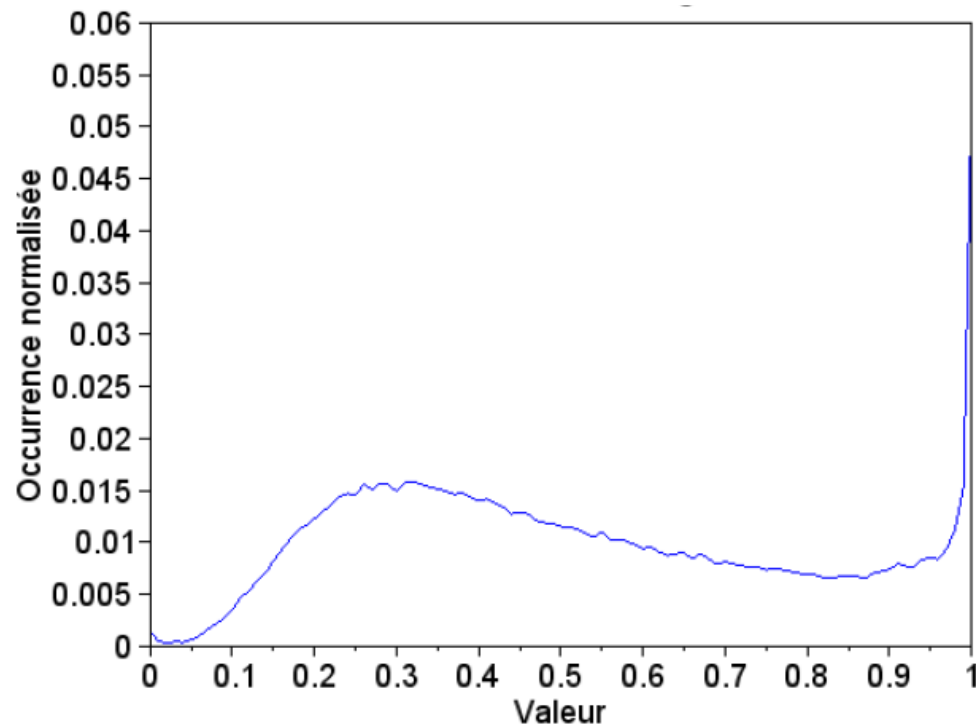
LMDZ NPv4.12



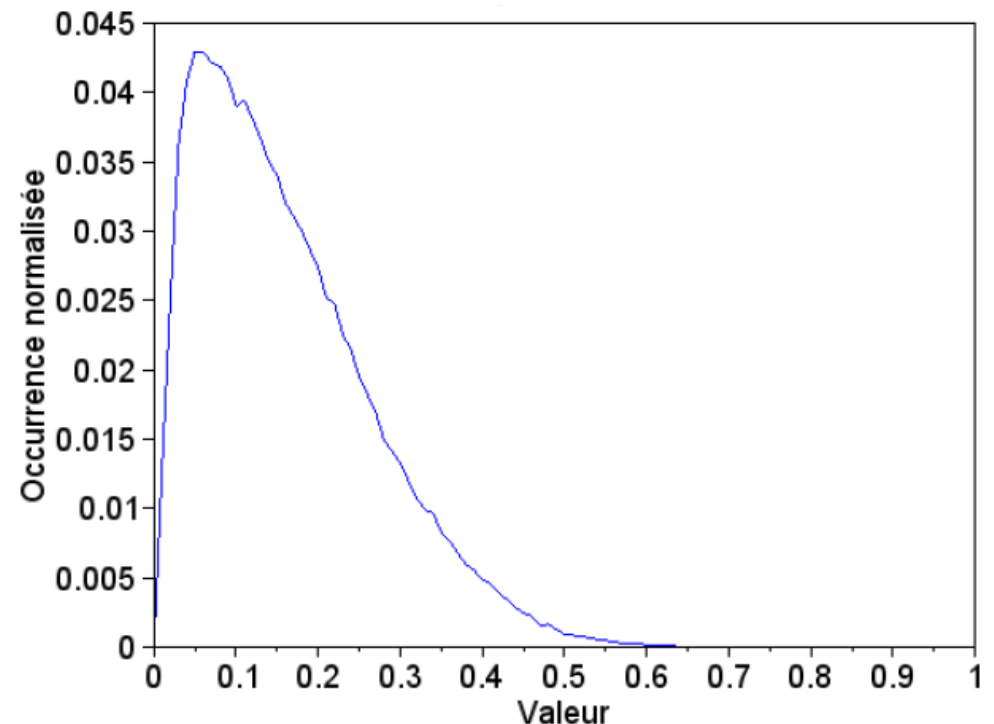
Hétérogénéité sous-maille

En moyenne sur une grille $2^\circ \times 2^\circ$

PDF de la **fraction** nuageuse
moyenne



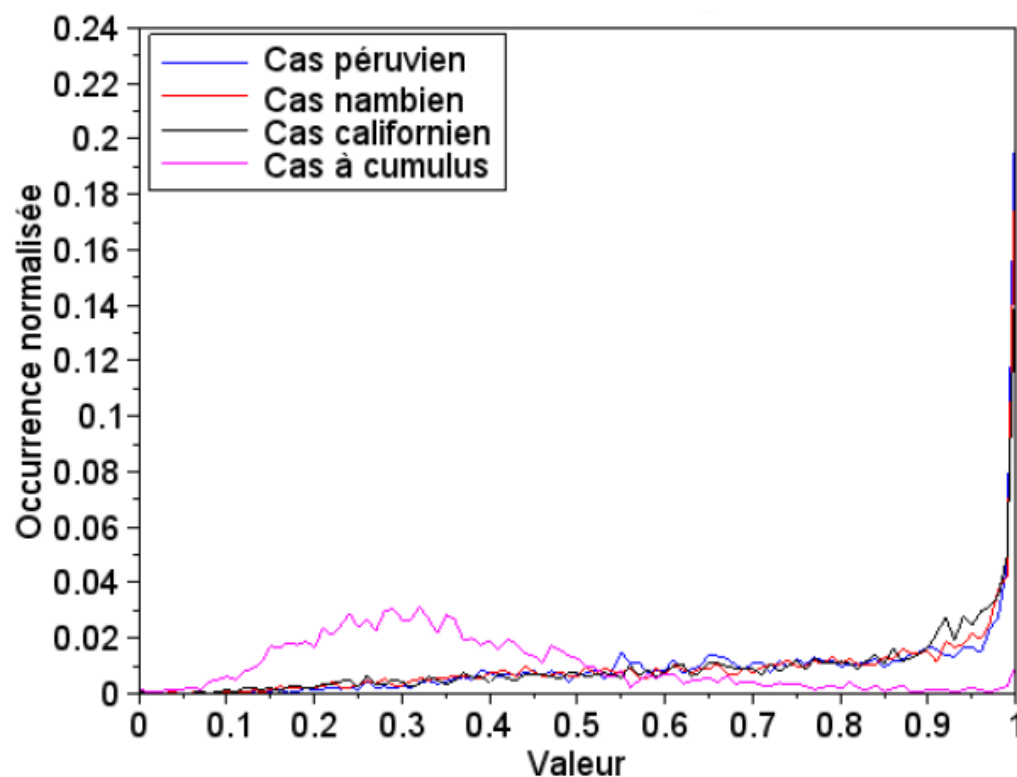
PDF de la **réflectance** nuageuse
moyenne



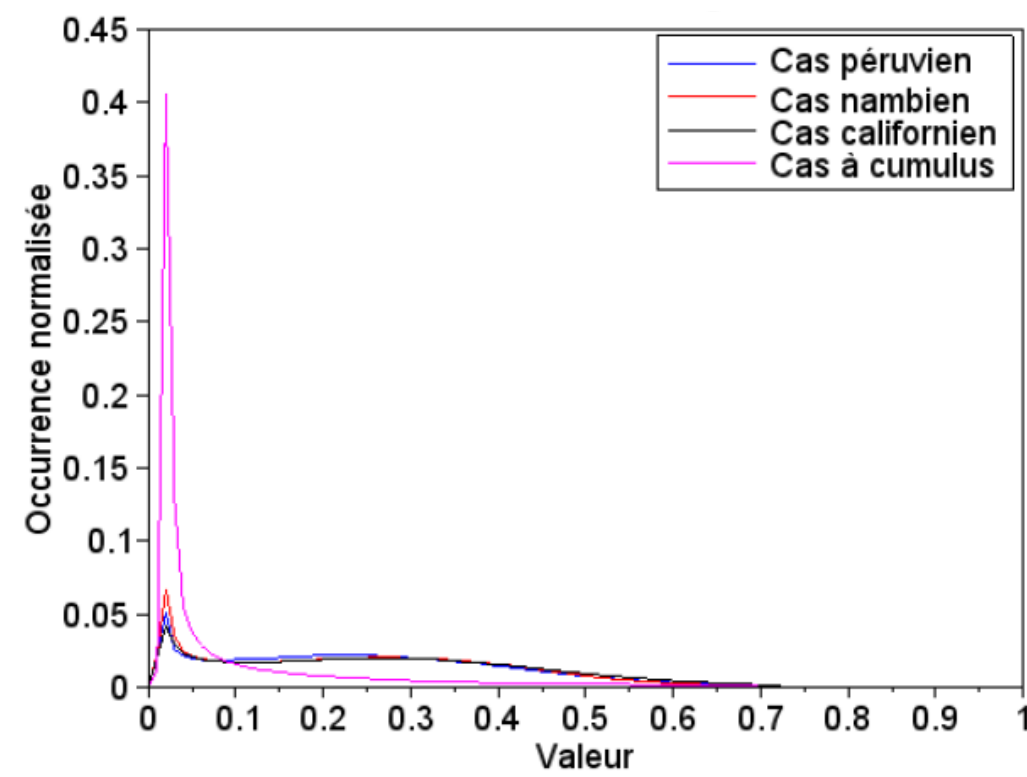
Hétérogénéité sous-maille

En valeurs locales, pleine résolution (300 m)

PDF de la **fraction** nuageuse locale



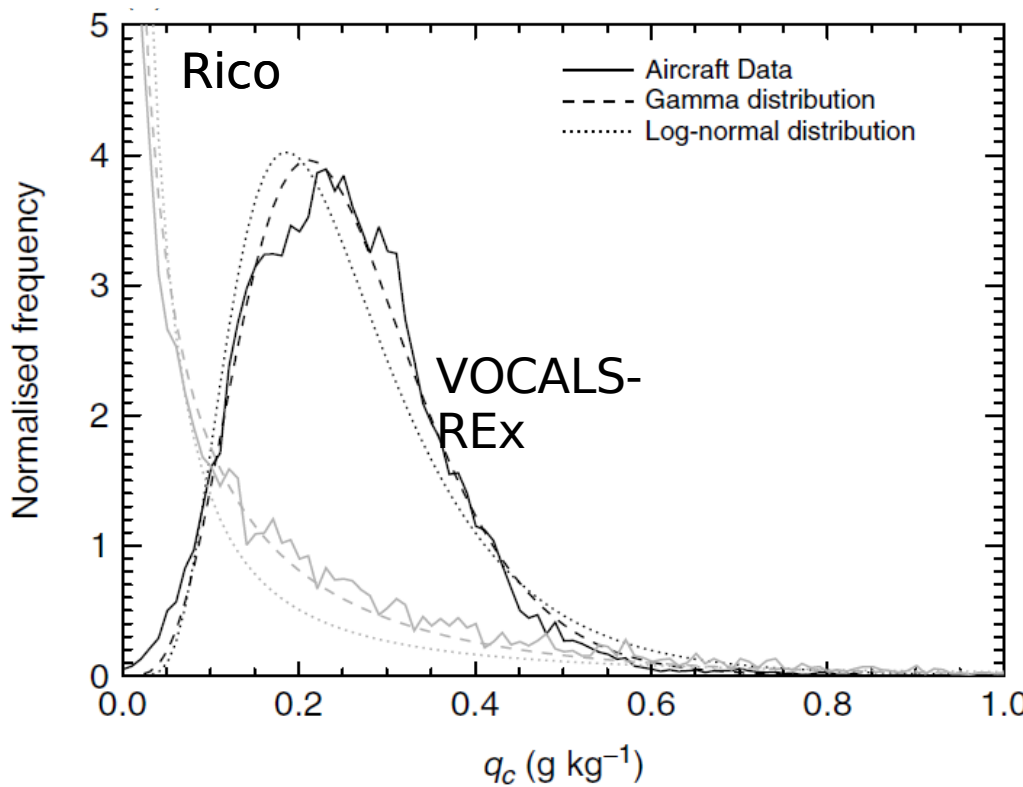
PDF de la **réflectance** nuageuse locale



Hétérogénéité sous-maille

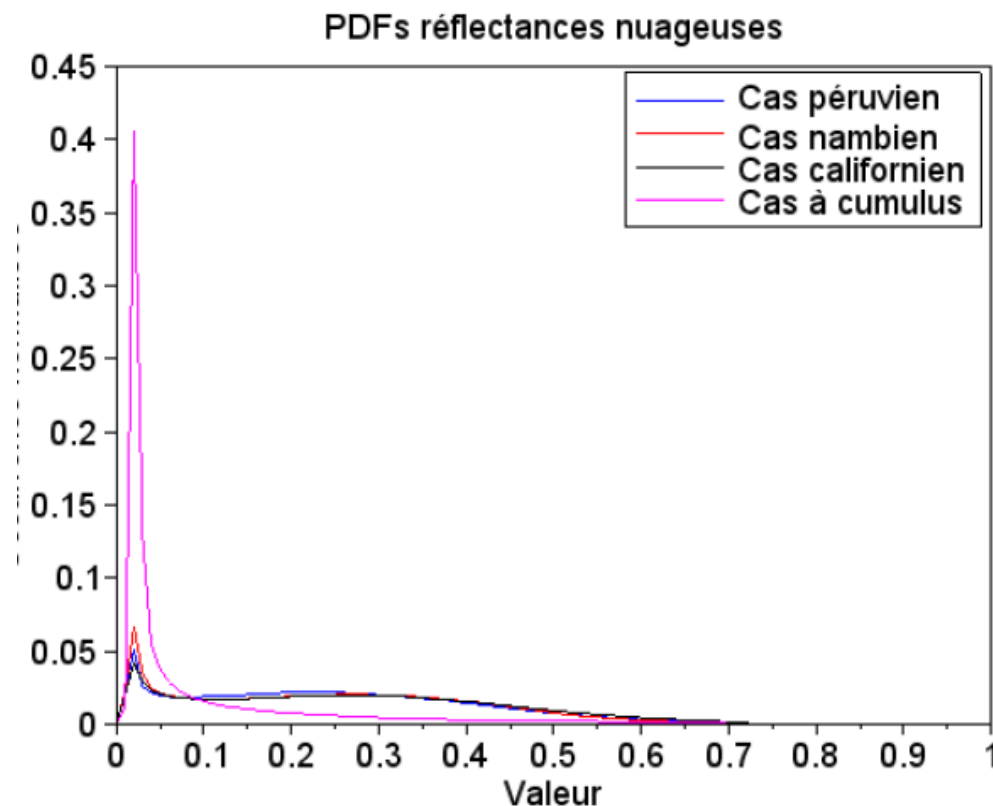
En valeurs locale, pleine résolution (300 m)

Observations locales du contenu en eau liquide des nuages

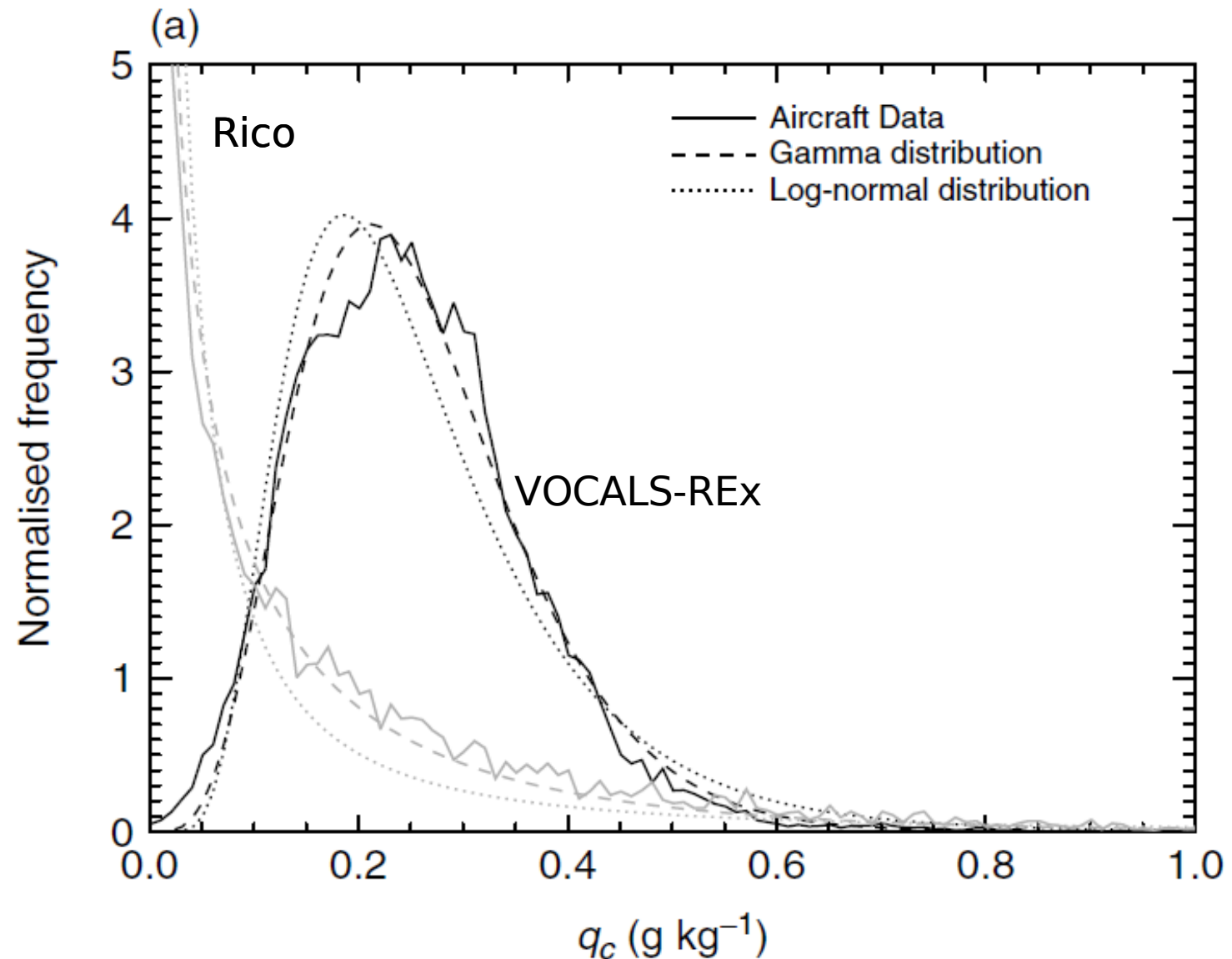


Boutle et al., 2014

PDF de la réflectance nuageuse locale

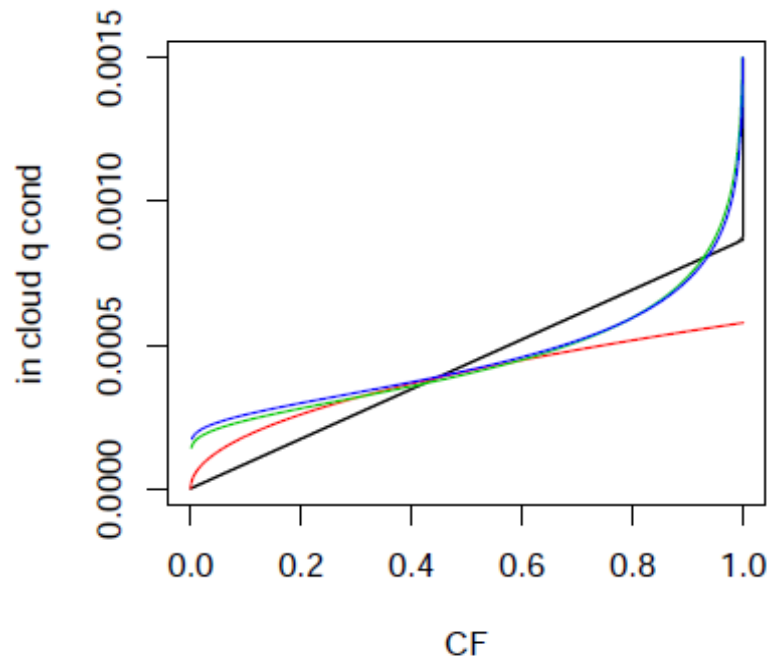


Stage A. Supply, 2014

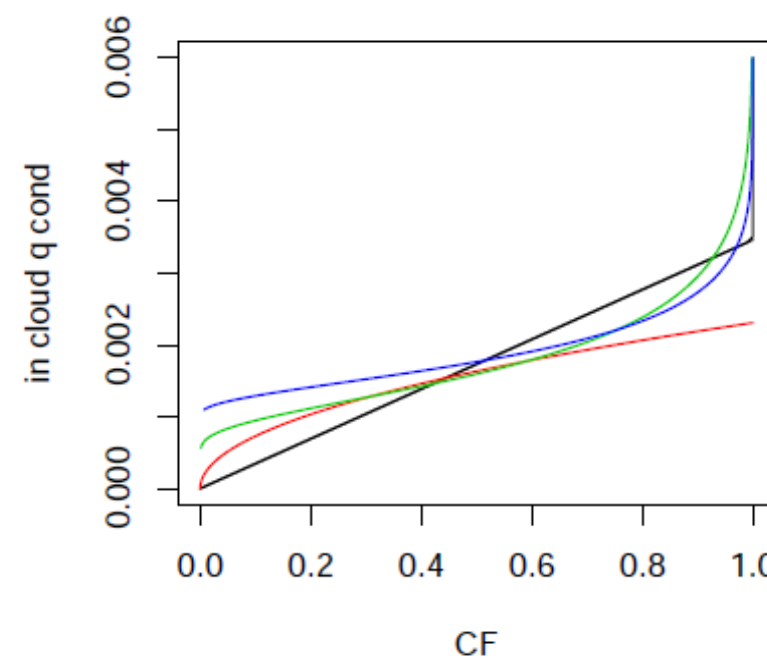


Boutle et al., 2014

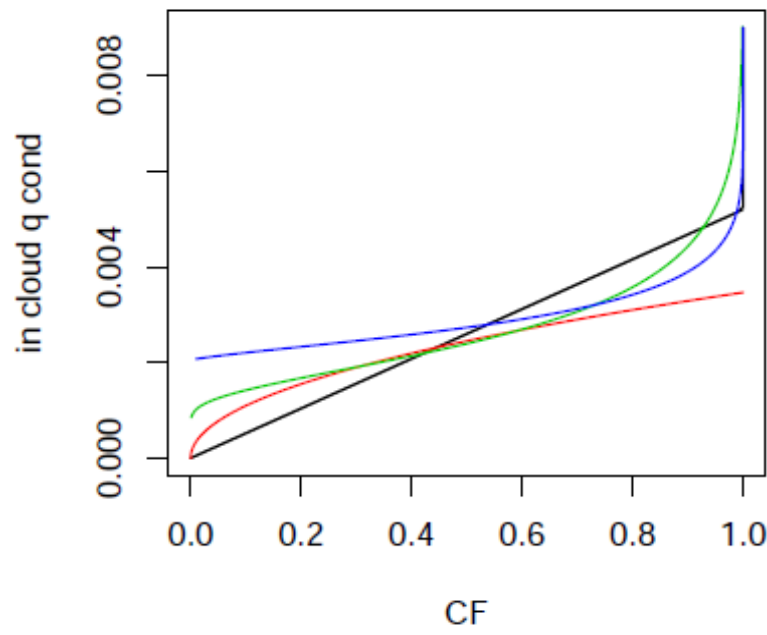
$qs=0.01$, $qsig=5e-04$



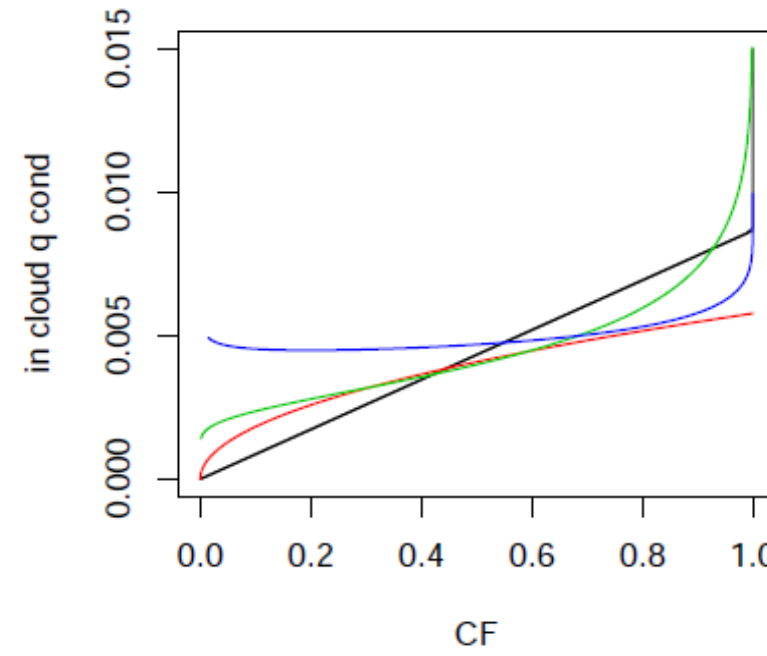
$qs=0.01$, $qsig=0.002$



$qs=0.01$, $qsig=0.003$

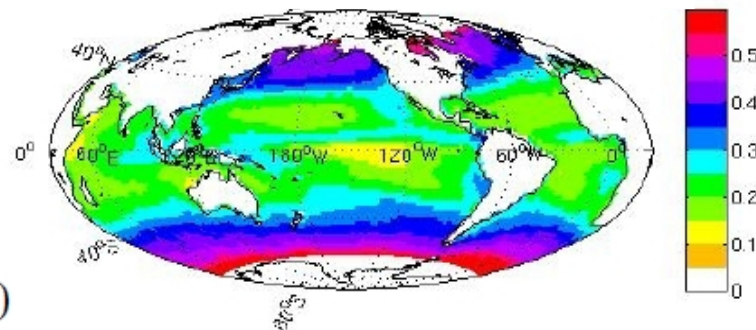


$qs=0.01$, $qsig=0.005$



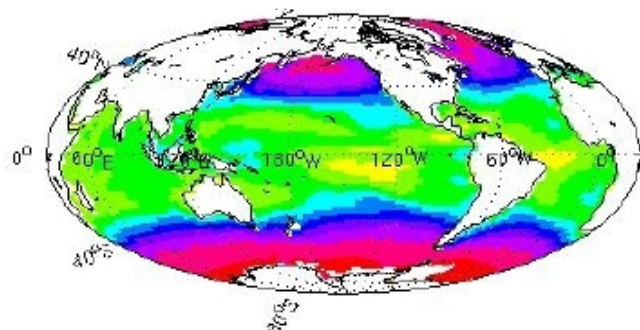
SW albedo TOA

CERES (obs)



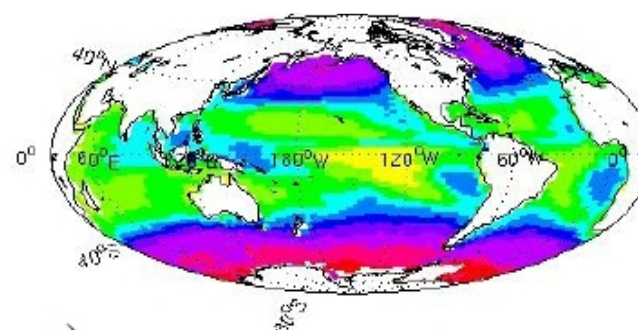
a)

LMDZ-5A

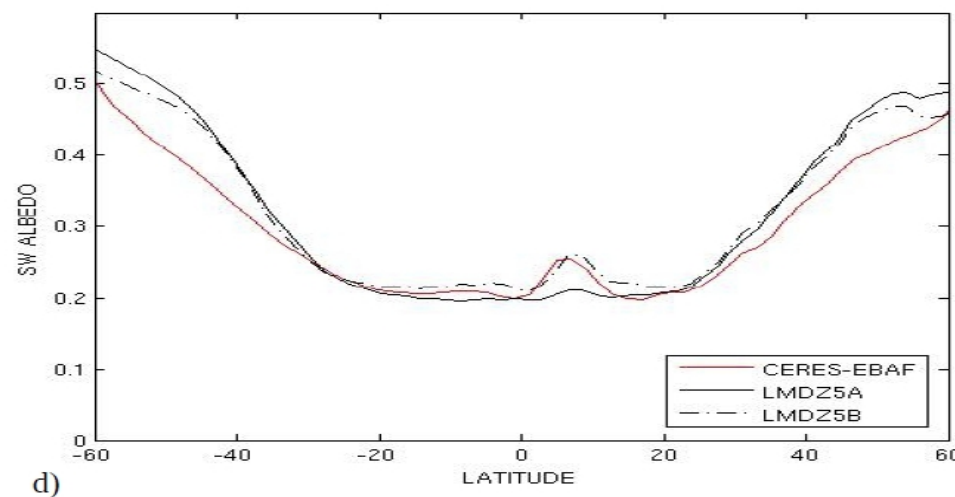


b)

LMDZ-5B



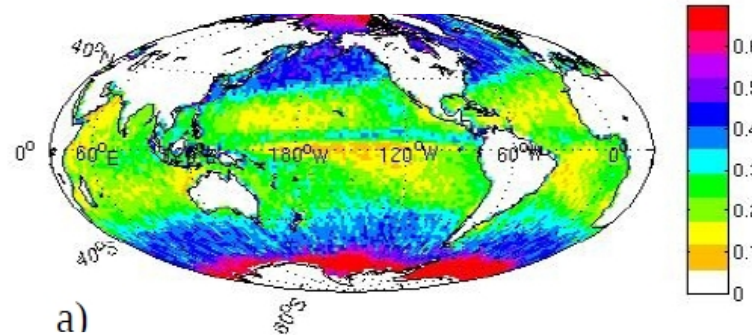
c)



d)

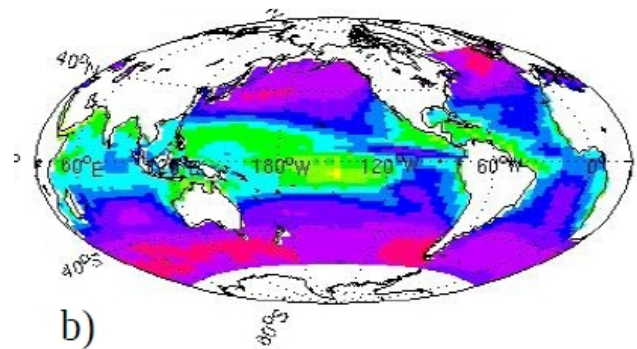
Cloud reflectance (500 nm)

PARASOL (obs)



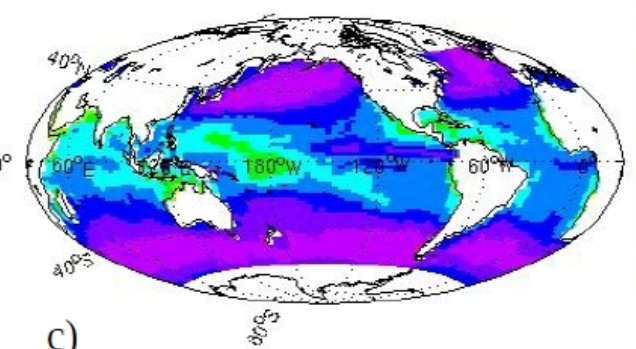
a)

LMDZ-5A

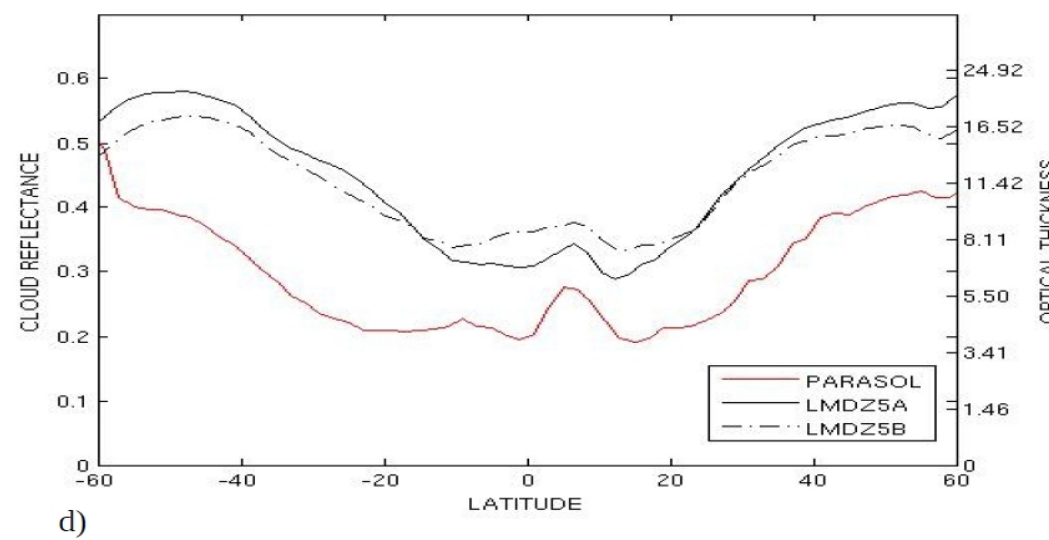


b)

LMDZ-5B



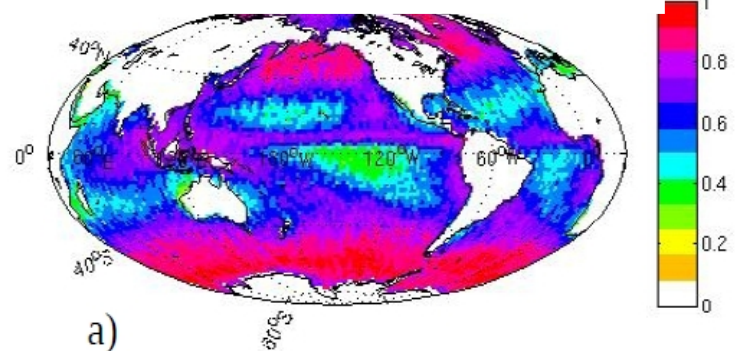
c)



d)

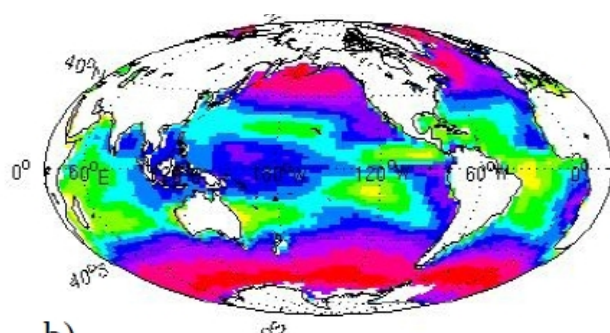
Total cloud fraction

CALIPSO (obs)



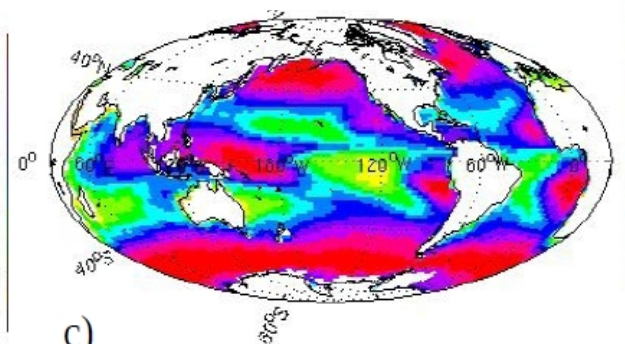
a)

LMDZ-5A

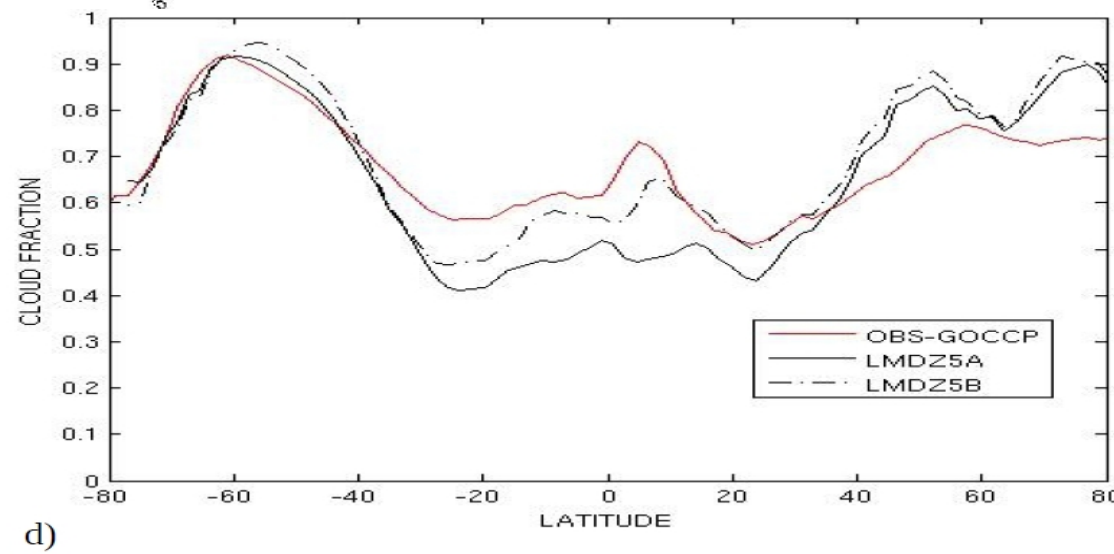


b)

LMDZ-5B



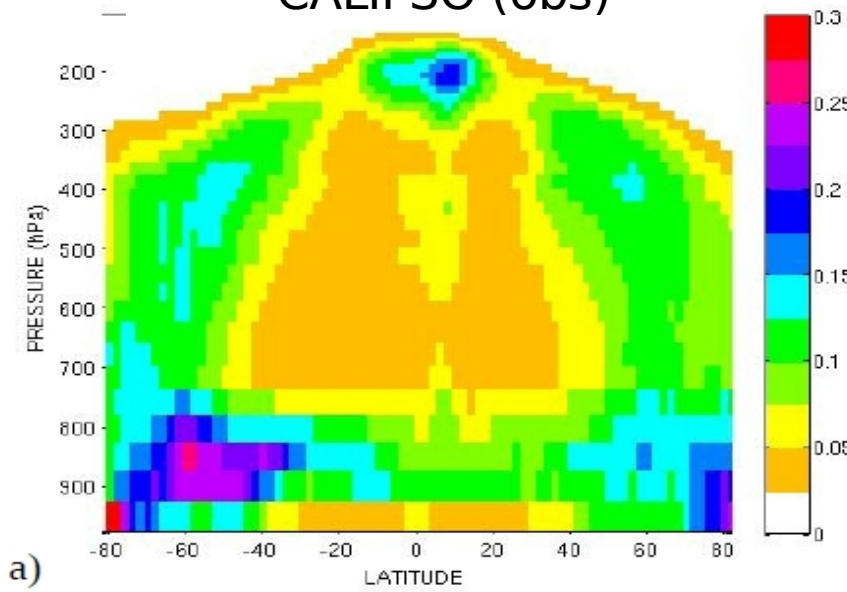
c)



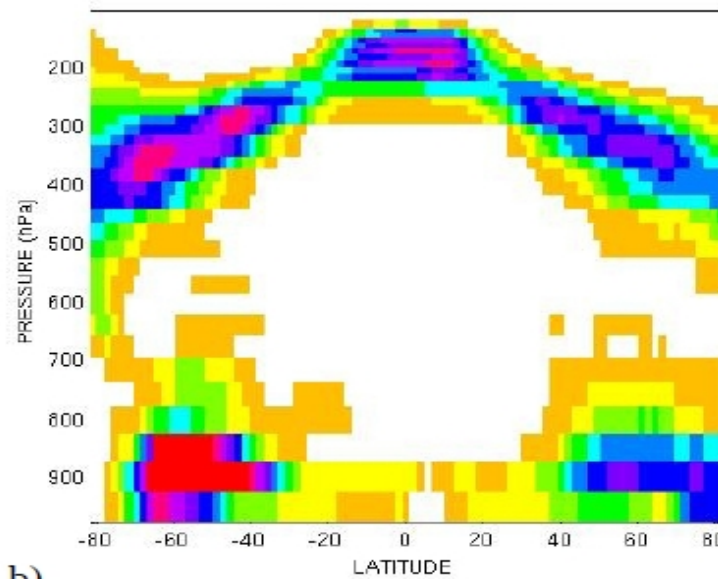
d)

Cloud fraction: vertical distribution

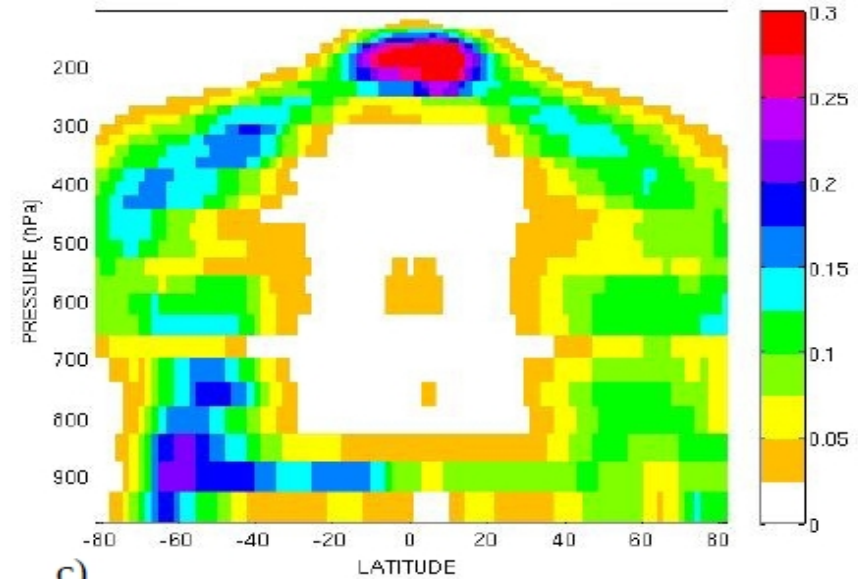
CALIPSO (obs)



LMDZ-5A

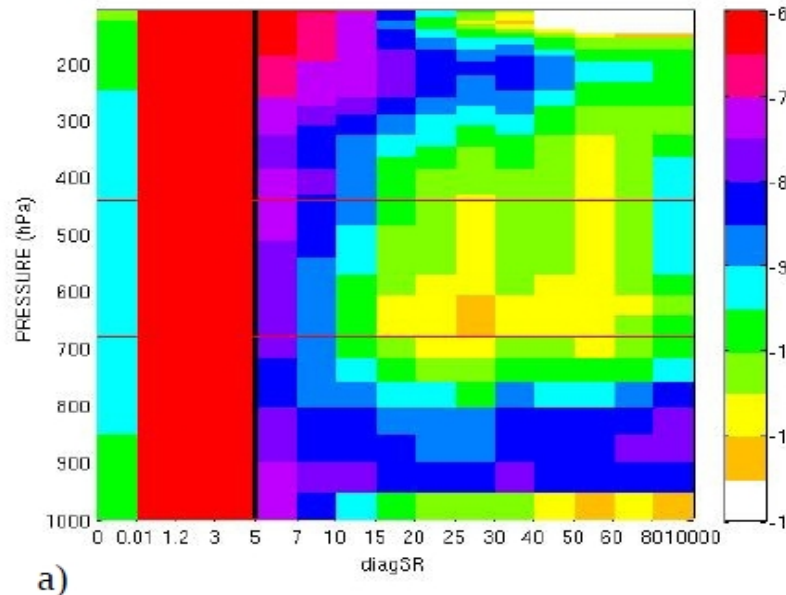


LMDZ-5B



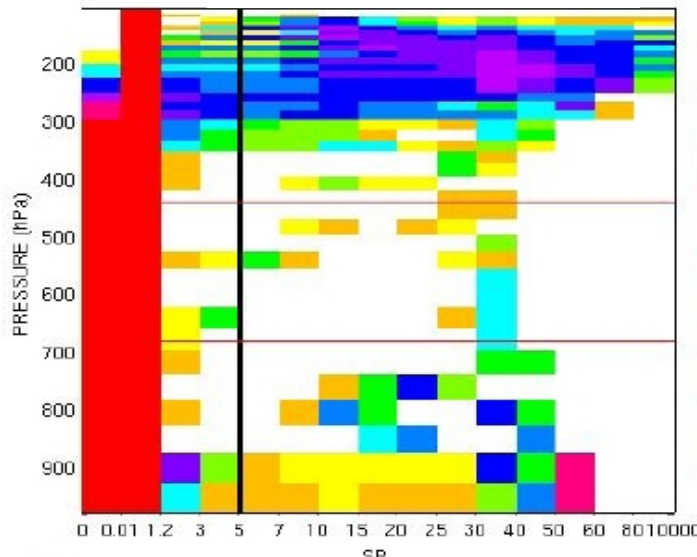
Vertical distribution of the scattering ratio, over the tropical oceans

CALIPSO (obs)



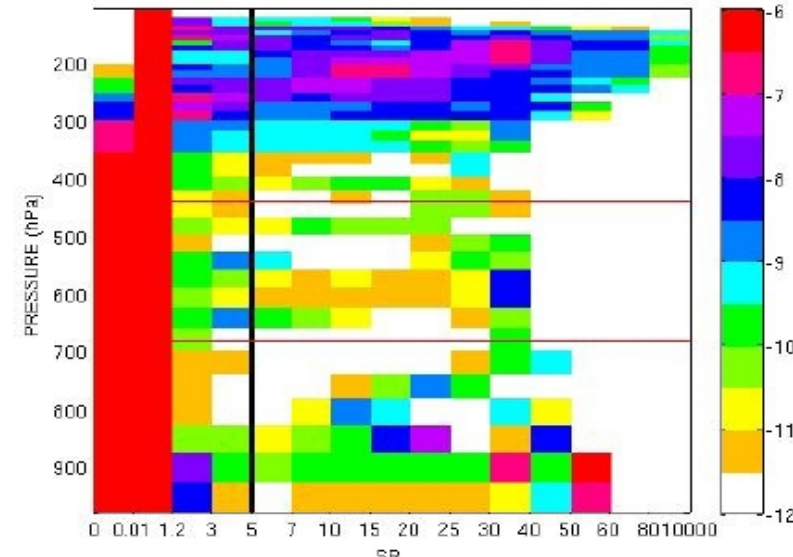
a)

LMDZ-5A



b)

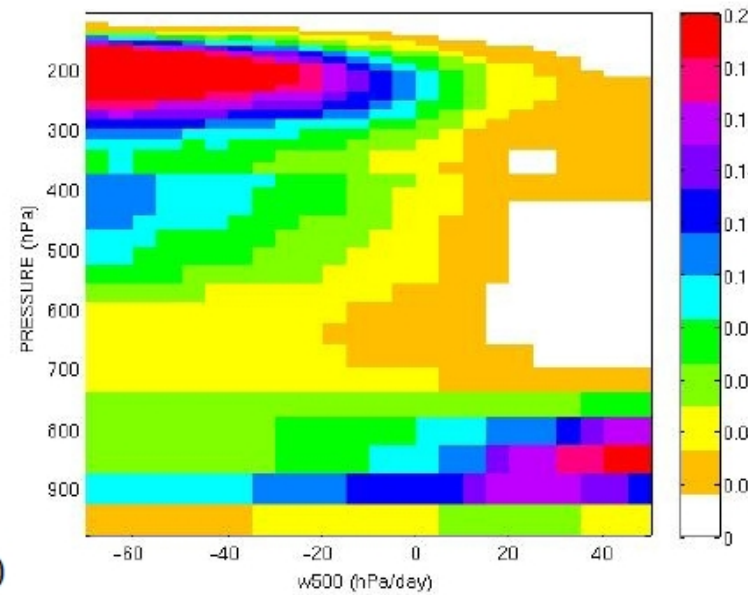
LMDZ-5B



c)

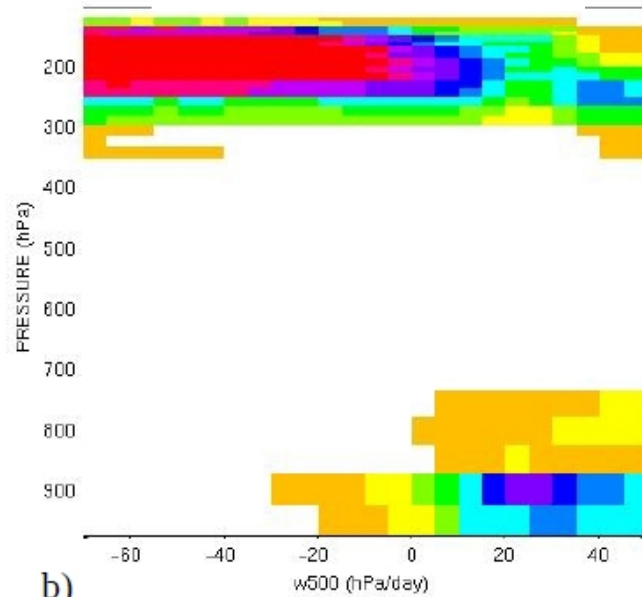
Vertical distribution of cloud as a function of the *dynamical regime* (w_{500}) over the tropical oceans

CALIPSO (obs)



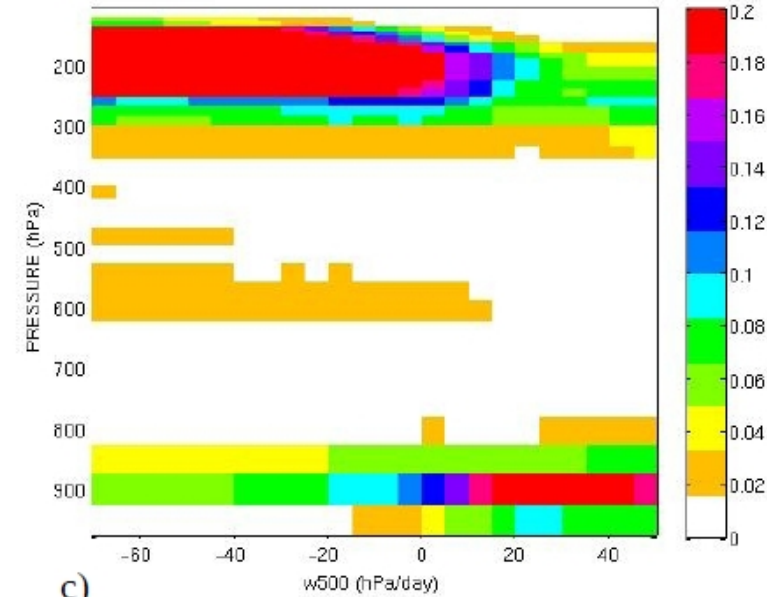
a)

LMDZ-5A



b)

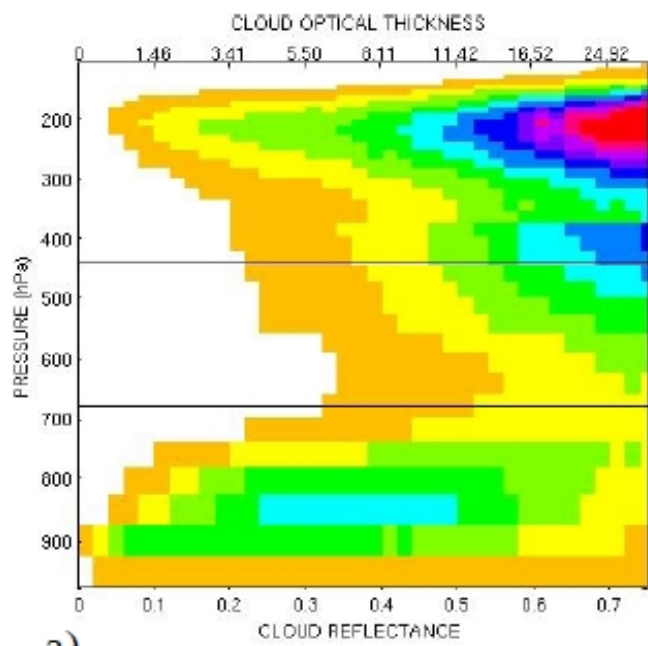
LMDZ-5B



c)

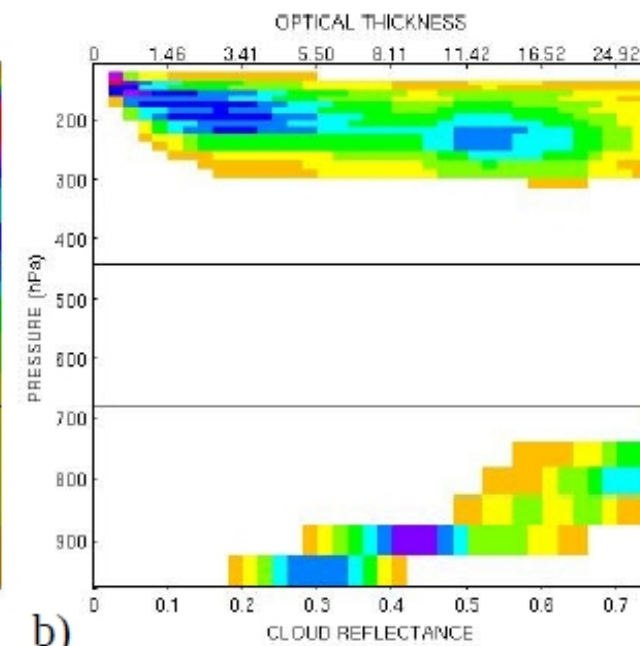
Cloud fraction as a function of **total** cloud reflectance and cloud height, over the tropical oceans

CALIPSO & PARASOL (obs)



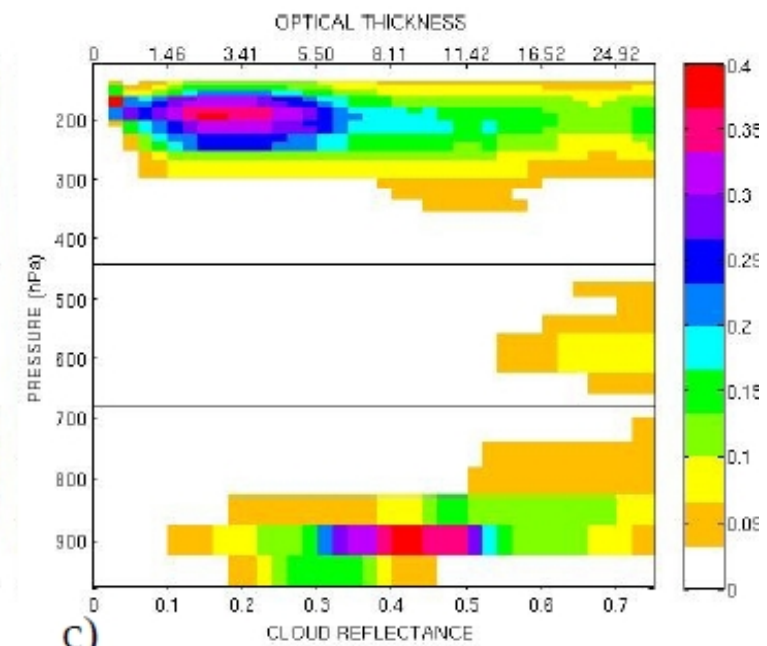
a)

LMDZ-5A

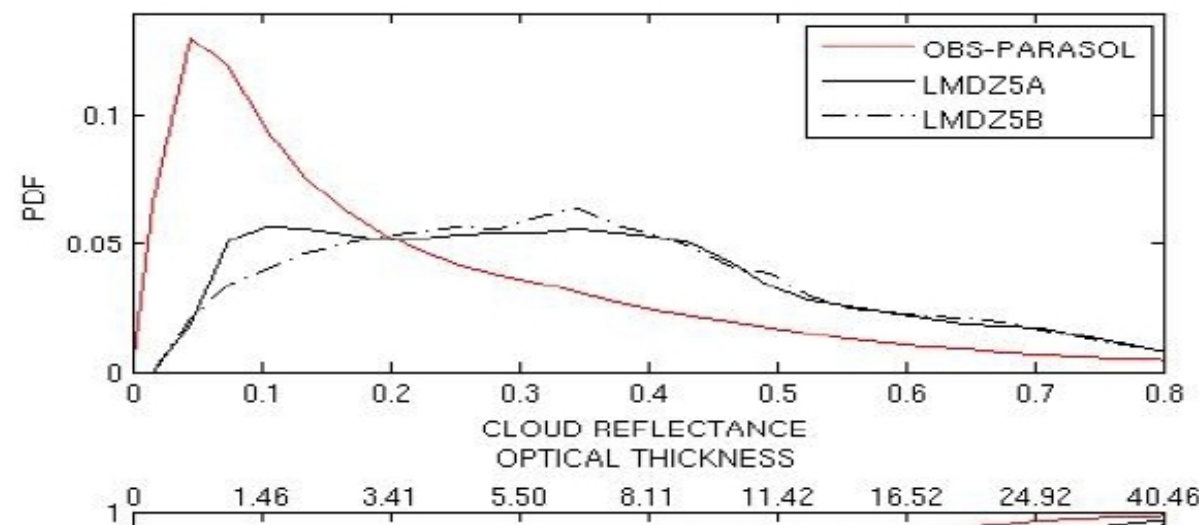


b)

LMDZ-5B

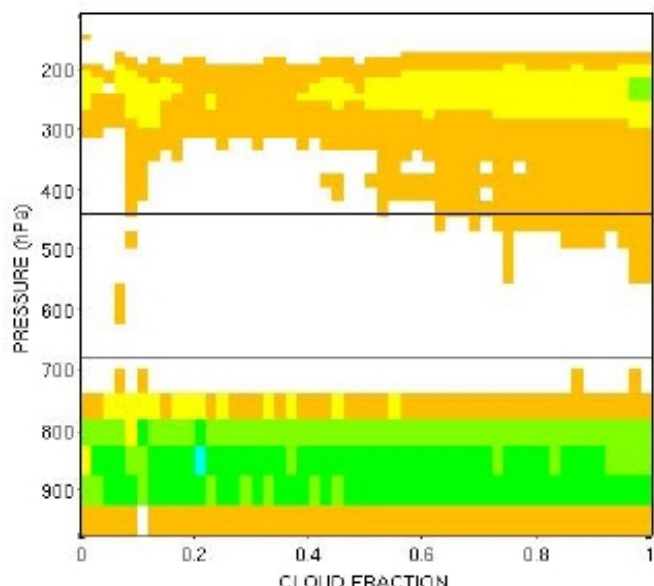


c)

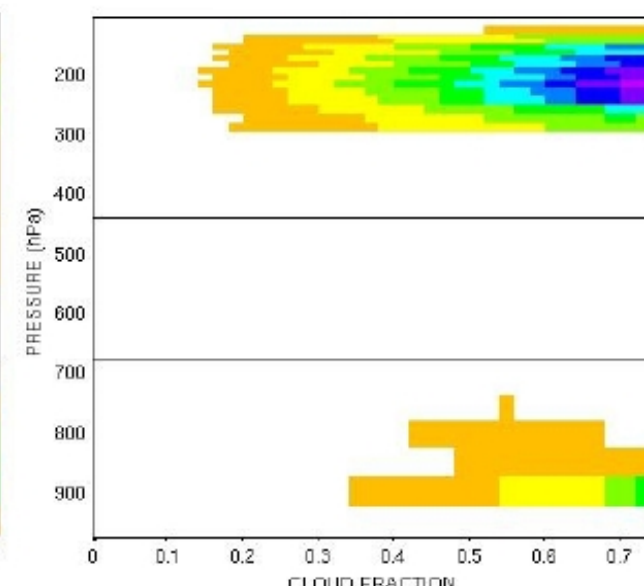


Cloud fraction as a function of **total** cloud fraction and cloud height, over the tropical oceans

CALIPSO & PARASOL (obs)



LMDZ-5A



LMDZ-5B

